



UNIVERSIDADE DE CAXIAS DO SUL
ÁREA DE CONHECIMENTO DE CIÊNCIAS DA VIDA
INSTITUTO DE BIOTECNOLOGIA
PROGRAMA DE PÓS-GRADUAÇÃO EM BIOTECNOLOGIA
LABORATÓRIO DE PRODUTOS NATURAIS E SINTÉTICOS

**PRODUÇÃO DE EXTRATOS ENRIQUECIDOS COM FLAVONOIDES
A PARTIR DE CO-PRODUTOS DA ELABORAÇÃO DE SUCO DE UVA**

Vânia Pezzini

Caxias do Sul, 2017

Vânia Pezzini

**PRODUÇÃO DE EXTRATOS ENRIQUECIDOS COM FLAVONOIDES
A PARTIR DE CO-PRODUTOS DA ELABORAÇÃO DE SUCO DE UVA**

Orientador: Prof. Dr. Sidnei Moura e Silva

Co-orientadora: Prof^a. Dr^a. Mirian Salvador

Caxias do Sul, 2017

Vânia Pezzini

**PRODUÇÃO DE EXTRATOS ENRIQUECIDOS COM FLAVONOIDES
A PARTIR DE CO-PRODUTOS DA ELABORAÇÃO DE SUCO DE UVA**

Dissertação apresentada ao Programa de Pós-Graduação em Biotecnologia da Universidade de Caxias do Sul, visando à obtenção do título de Mestre em Biotecnologia.

Orientador: Prof. Dr. Sidnei Moura e Silva
Co-orientadora: Prof^a. Dra^a. Mirian Salvador

VÂNIA PEZZINI

PRODUÇÃO DE EXTRATOS ENRIQUECIDOS COM FLAVONOÏDES A PARTIR DE CO-PRODUTOS DA ELABORAÇÃO DE SUCO DE UVA

Dissertação apresentada ao Programa de Pós-graduação em Biotecnologia da Universidade de Caxias do Sul, visando à obtenção do título de Mestra em Biotecnologia.

Orientador: Prof. Dr. Sidnei Moura e Silva
Co-orientadora: Profª. Drª. Mirian Salvador

DISSERTAÇÃO APROVADA EM 31 DE JULHO DE 2017.

Orientador: Prof. Dr. Sidnei Moura e Silva

Co-orientadora: Profª. Drª. Mirian Salvador

Prof. Dr. Cláudio Martin Pereira de Pereira

Prof. Dr. Otávio Bianchi

Prof. Dr. Leandro Tasso

P522p Pezzini, Vânia

Produção de extratos enriquecidos com flavonoides a partir de co-produtos da elaboração de suco de uva / Vânia Pezzini. – 2017.
40 f.; il.

Dissertação (Mestrado) - Universidade de Caxias do Sul, Programa de Pós-Graduação em Biotecnologia, 2017.

Orientação: Sidnei Moura e Silva.

Coorientação: Mirian Salvador.

1. Uva. 2. Vinificação. 3. Co-produto. 4. Extração. 5. Compostos fenólicos. I. Silva, Sidnei Moura e, orient. II. Salvador, Mirian, coorient. III. Título.

Elaborado pelo Sistema de Geração Automática da UCS com os dados fornecidos pelo(a) autor(a).

AGRADECIMENTOS

Ao meu orientador Prof. Dr. Sidnei Moura e Silva pela orientação segura e personalizada.

A co-orientadora Prof^a. Dra. Mirian Salvador pelos ensinamentos, compreensão, dedicação e colaboração.

Ao meu companheiro Michel Larentis por toda dedicação e cumplicidade.

A Vinícola Don Celesto, situada em São Marcos, que cedeu o material deste trabalho.

A Deus pelo dom da vida e que está sempre ao meu lado me ajudando.

A Universidade de Caxias do Sul e ao Programa de Pós-Graduação em Biotecnologia pela oportunidade de ter realizado este projeto.

Enfim, agradeço a todas as pessoas que me incentivaram e que, de alguma forma, contribuíram para a realização deste trabalho.

*“A mente que se abre a uma nova ideia
jamais voltará ao seu tamanho original.”*

Albert Einstein

RESUMO

Com o aumento da população e crescimento da produção industrial, há uma crescente quantidade de resíduos provenientes destas transformações. Neste estudo o foco são os co-produtos do processo de vinificação, conhecidos como bagaço. Anualmente são produzidas no mundo 60 milhões de toneladas de uva, das quais 80% são utilizadas no processo de vinificação, gerando toneladas de co-produtos orgânicos pouco aproveitados. Este é caracterizado por conter altas concentrações de compostos fenólicos, os quais podem ser reaproveitados como antioxidantes. Assim, o principal objetivo deste projeto foi apresentar a influência de diversos métodos de extração sobre a composição química e a atividade antioxidante destes extratos/frações. Para isso foram realizadas extrações por micro-ondas, ultrassom e líquido-líquido, com solventes de polaridades diferentes (etanol, água, metanol, hexano, clorofórmio e acetato de etila). Além disso, o extrato foi fracionado com auxílio de coluna aberta utilizando sílica como fase estacionária e como fase móvel solventes de diferentes polaridades. A caracterização química foi realizada através de Cromatografia Líquida de Alta Eficiência com detector UV-Vis (CLAE-UV) e Espectrometria de Massas de Alta Resolução (EMAR). Entre os principais compostos identificados estão os fenólicos como a rutina, o ácido gálico, a catequina, e alguns carboxilatos como o ácido linoleico e o ácido esteárico. Nas extrações realizadas podemos identificar que o solvente etanol, em todos os métodos de extração, obteve melhores resultados referente a qualificação e quantificação de compostos químicos em análise com CLAE-UV. A avaliação da capacidade antioxidante foi realizada através do método 2,2-difenil-1-picrilhidrazil (DPPH[•]). Os dados obtidos por extração micro-ondas mostraram uma maior porcentagem de varredura ($2,44\%\pm36,64$), quando o solvente utilizado foi o etanol. Na extração por sonografia, os valores mais elevados $2,07\%\pm74,22$ foram observados utilizando-se acetato de etila. Na extração líquido-líquido o maior percentual de varredura ($0,61\pm33,62$) foi observado para o solvente acetato de etila. Em geral, os extratos obtidos por extração com micro-ondas apresentaram maior teor de compostos fenólicos ($0,04\pm13,18$ a $6,02\text{mg}\pm107,03$ GAE/100g). Os resultados obtidos neste projeto indicam que este co-produto pode ser melhor aproveitado para a aplicação como uma fonte de ingredientes funcionais, como suplementos alimentares ou na indústria cosmética, por conterem compostos importantes.

Palavras-chave: Uva. Vinificação. Co-produto. Extração. Compostos fenólicos.

ABSTRACT

With increasing population and industrial production growth, there is an increasing amount of waste coming from these transformations. The focus of this study will be on the co-products of the winemaking process, known as grape marc. Every year 60 million tons of grape are produced, 80% of which are used in the winemaking process, generating tons of underutilized organic co-products. This is characterized by its high concentrations of phenolic compounds which can be reused as antioxidants. Thus, the main goal of this project was to present the influence of different extraction methods on chemical composition and antioxidant activity of these extracts/fractions. For this, the extractions were performed by microwave, ultrasound and liquid-liquid, with different polarities solvents (ethanol, water, methanol, hexane, chloroform and ethyl acetate). Moreover, the extract was fractionated with the aid of an open column using silica as stationary phase and different polarities solvents as mobile phase. The chemical characterization was performed by High Performance Liquid Chromatography with UV-Vis detector (CLAE) and High Resolution Mass Spectrometry (HRMS). Among the main compounds identified are phenolics such as rutin, gallic acid, catechin, and some carboxylates such as linoleic acid and stearic acid. In the extracted extractions we can identify that the ethanol solvent, in all extraction methods, obtained better results regarding the qualification and quantification of chemical compounds in analysis with HPLC-UV. The evaluation of antioxidant capacity was carried out using the 2,2-diphenyl-1-picrylhydrazyl (DPPH \bullet) method. The data obtained by microwave extraction showed a higher percentage of scanning ($2,44\%\pm36,64$), when the solvent used was ethanol. In the extraction by sonography, the highest values $2,07\%\pm74,22$ were observed using ethyl acetate. In the liquid-liquid extraction the highest percentage of sweep ($0,61\%\pm33,62$) was observed for the solvent ethyl acetate. In general, the extracts obtained by extraction with microwaves presented higher levels of phenolic compounds ($0,04\%\pm13,18$ a $6,02\text{mg}\pm107,03 \text{ GAE}/100\text{g}$). The results obtained in this project indicate that this co-product can be better utilized for the application as a source of functional ingredients, as food supplements or in the cosmetic industry, because they contain important compounds.

Keywords: Grape. Winemaking. Co-products. Extraction. Phenolic compounds.

SUMÁRIO

1	INTRODUÇÃO	10
2	OBJETIVOS	12
2.1	OBJETIVO GERAL.....	12
2.2	OBJETIVOS ESPECÍFICOS	12
3	REVISÃO BIBLIOGRÁFICA	13
3.1	UVA E VINHO	13
3.2	INDÚSTRIA VINÍCOLA: PRODUTO E SUBPRODUTO	14
3.3	APLICAÇÕES DE CO-PRODUTOS DA UVA.....	19
3.4	COMPOSIÇÃO QUÍMICA DOS RESÍDUOS DE UVA.....	20
3.4.1	Resveratrol	21
3.5	COMPOSTOS FENÓLICOS COMO ANTIOXIDANTES.....	22
3.6	MÉTODOS DE EXTRAÇÃO.....	22
4	RESULTADOS E DISCUSSÃO	26
5	DISCUSSÃO GERAL	27
6	CONCLUSÕES.....	31
7	PERSPECTIVAS FUTURAS	32
	REFERÊNCIAS	33

1 INTRODUÇÃO

No último século a população brasileira sextuplicou. Estatísticas do IBGE – Instituto Brasileiro de Geografia e Estatística 2017 informam que no país há cerca de 207 milhões de pessoas. O aumento da população tem demandado uma expansão da indústria. Assim, tem havido um recorrente aumento de resíduos gerados a partir dos processos industriais, os quais precisam ser descartados convenientemente.

Inseridas nesse contexto estão as indústrias vinícolas, que consideram o bagaço como subproduto. Este co-produto, gerado no processo de elaboração de suco de uva, tem atraído a atenção de pesquisadores devido a sua composição química ser baseada em compostos fenólicos, os quais são antioxidantes naturais. A produção de uvas para processamento vinícola ocupa uma área de aproximadamente 83.700 hectares no Brasil, sendo mais proeminente na região da Serra Gaúcha (IBGE, 2016). Portanto, trata-se de uma importante atividade agrícola e econômica, principalmente nesta região (BARBA et al., 2016). Anualmente são produzidos quase 20 milhões de toneladas de resíduos de vinificação que são descartados, muitas vezes, de forma inadequada causando um problema ambiental grave.

Durante o processo de vinificação são gerados resíduos como: engaço, casca e sementes. Estes co-produtos são, muitas vezes, descartados ou utilizados como condicionadores do solo. Por outro lado, possuem uma composição química rica em compostos valiosos. Entre as substâncias presentes estão catequinas, flavonóis, glicosídeos, álcoois e ácidos fenólicos, estilbenos e antocianinas (KAMMERER et al., 2005).

Entre os compostos originados do metabolismo secundário da planta sobressaem os compostos fenólicos, os quais são substâncias com, ao menos, um anel aromático ligado a uma hidroxila. São encontrados em frutas, verduras, sementes, bem como em chás, vinhos, sucos e outras fontes de alimentos consumidos regularmente na dieta humana, destacando-se as uvas que são particularmente ricas em polifenóis bioativos, especialmente os flavonoides.

Neste contexto, há um crescente interesse pela utilização de co-produtos de vinificação por possuírem propriedades antioxidantes decorrentes da presença de compostos fenólicos da uva. Assim sendo, o intuito desta pesquisa é avaliar diferentes métodos de extração com intenção de produzir extratos enriquecidos em compostos fenólicos a partir de co-produtos da elaboração de suco de uva. Entre os métodos de extração foram utilizados: micro-ondas, ultrassom, líquido-líquido. Além disso, o extrato foi fracionado com auxílio de coluna aberta utilizando sílica como fase estacionária e como fase móvel solventes de diferentes polaridades. Para complementar o estudo foram feitas caracterizações químicas dos extratos

e/ou frações obtidas através de diferentes métodos analíticos (CLAE-UV e EMAR). A capacidade antioxidante foi determinada pelo método de DPPH, e a quantidade de compostos fenólicos totais foi avaliada pelo método de Folin-Ciocalteau.

2 OBJETIVOS

2.1 OBJETIVO GERAL

Avaliar diferentes métodos de extração com intenção de produzir extratos enriquecidos em compostos fenólicos a partir de co-produtos da elaboração de suco de uva.

2.2 OBJETIVOS ESPECÍFICOS

- Comparar os métodos de extração por ultrassom, micro-ondas e líquido-líquido para separar compostos com atividades antioxidantes a partir de resíduos da elaboração de suco de uva.
- Avaliar e quantificar a composição química dos extratos obtidos através de Cromatografia Líquida de Alta Eficiência com detector UV-VIS (CLAE-UV) e Espectrometria de Massas de Alta Resolução (EMAR).
- Determinar a quantidade de fenólicos totais através do método Folin-Ciocalteau.
- Determinar a capacidade antioxidante através do método 2,2-difenil-1-picrilhidrazil (DPPH[•]).

3 REVISÃO BIBLIOGRÁFICA

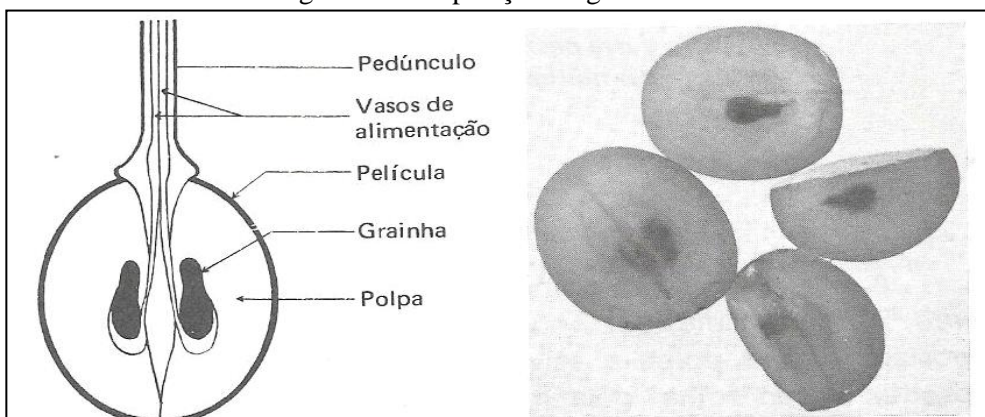
3.1 UVA E VINHO

Na antiguidade, era considerada uma arte a transformação de uva em vinho. Na atualidade continua sendo considerada uma arte a vinificação, no entanto, com uma preocupação maior com os valores sensoriais e funcionais da bebida (FERNANDES, 2008). É vasta a literatura que disserta sobre a parreira, a uva e o vinho esclarecendo que há muitas variedades de uvas, sendo que a maioria delas pertence às classes *Vitis viníferas*. Aqui cabe destacar as informações apresentadas por Zhu et al. (2014) que indicam ser a uva uma das frutas mais cultivadas no mundo, principalmente em continentes de climas temperados. As estatísticas do IBRAVIN (2016) – Instituto Brasileiro do Vinho – indicam que, anualmente, são produzidas 60 milhões de toneladas de uvas no Brasil, dos quais 80% são utilizadas na produção de vinhos, sucos e derivados. As primeiras espécies de videiras, vindas de Portugal, foram introduzidas no Brasil por Martim Afonso Souza no ano 1531-1532.

A uva é o fruto da videira, gênero *Vitis*. Entre as espécies destacam-se as *Vitis viníferas* utilizadas para a produção de vinhos. Esta espécie deve ser observada com atenção no que diz respeito ao seu potencial qualitativo, especialmente aos seus compostos polifenólicos e aromáticos. A uva apresenta cabo, ou pedúnculo, por onde os vasos de alimentação transportam, para a polpa, os componentes necessários que são produzidos nas folhas pela fotossíntese. Esta é realizada nas folhas verdes da videira e transformam a energia solar em carboidratos, que uma vez fermentado darão origem ao álcool do vinho (REAL, 1981). Na figura 1 destaca-se a baga da uva em corte. Na parte externa o grão de uva possui casca ou película, e na parte interna, geralmente ao centro, as sementes ou grainhas. Estas partes possuem substâncias comuns, ou diferentes, que entrarão na composição do vinho ou suco, pois todo o conjunto será esmagado e preparado para a fermentação.

Conforme Real (1981), taninos são encontrados no engaço, principalmente no pedúnculo, enquanto nas cascas, ou películas, existem, além dos taninos, moléculas responsáveis pelos pigmentos escuros em uvas pretas e rosadas. A polpa, quando madura, possui açúcares, ácidos orgânicos, entre outros compostos químicos. A semente, ou grainha, possui ácidos graxos, taninos e outras substâncias.

Figura1 – Composição do grão da uva



Fonte: Real (1981). A uva, em corte, mostra as partes que a compõem (foto de Miguel Torres, desenho Octavio Pato).

É importante ressaltar que as cascas levam consigo substâncias aromáticas, entre elas compostos fenólicos. As cascas das uvas são de grande importância para as características do vinho. Conforme Anastasiadi et al. (2011), as uvas são particularmente ricas em polifenóis bioativos como antocianinas, flavonóis, flavonoides, estíbenos e ácidos fenólicos. Sua biossíntese ocorre durante o desenvolvimento normal, ou como resposta a condições de stress tais como: infecção, ferimento e irradiação UV. Em particular, o estilbeno fitoalexina trans-resveratrol é sintetizado como resposta a várias formas de stress biótico e abiótico, como fungos, infecções, lesões, geada e metais pesados.

Yilmaz et al. (2014) indicam que a pele e sementes da uva são ricas fontes de compostos fenólicos como os flavonoides e as antocianinas. O autor relata que a presença destes compostos depende de vários fatores, tais como: a variedade, maturidade das uvas, e também envolvem a prática utilizada na viticultura.

3.2 INDÚSTRIA VINÍCOLA: PRODUTO E SUBPRODUTO

A indústria vitivinícola é considerada muito importante para algumas regiões do mundo e dos respectivos países. No Brasil encontra-se presente em vários estados e regiões concentrando-se em duas específicas: Serra do Rio Grande do Sul e Nordeste Brasileiro. Esta atividade é especialmente importante para o Rio Grande do Sul por possuir grande importância socioeconômica devido ao seu elevado impacto na geração de emprego e renda. Nesta região, quase a totalidade da produção se destina à agroindústria do suco e do vinho.

Uma das características marcantes dos diferentes segmentos da vitivinicultura é a coexistência de regiões com diferenças climáticas, que vão desde regiões temperadas de

altitude até polos de produção em clima tropical (ZANUS, 2015). Mello (2016) destaca que nos últimos anos, com a implementação das Indicações Geográficas no Brasil, a viticultura tem contribuído fortemente para o desenvolvimento dos territórios envolvidos, promovendo a agregação de valor aos produtos e a valorização de seus respectivos fatores naturais e culturais.

A atividade vitivinícola tem experimentado transformações significativas nos últimos anos em decorrência das contingências que se colocam no cenário do agronegócio brasileiro. Além disso, tem tentado acompanhar as tendências da vitivinicultura mundial. Nesse sentido, o perfil do negócio vitivinícola brasileiro, como um todo, tem evoluído continuamente e o esforço pela procura da excelência e da qualidade tem sido considerável. O Brasil é o maior país da América Latina, sendo considerado o quinto maior produtor vitivinícola do Hemisfério Sul produzindo vinhos desde o começo de sua colonização. A viticultura brasileira ocupa uma área de aproximadamente 83.700 hectares e, em 2015, foram produzidas 1.499.353 toneladas de uvas no Brasil, conforme dados apresentados na tabela 1 (IBGE, 2016).

Tabela 1 – Produção de uvas no Brasil (toneladas)

Estado/Ano	2013	2014	2015
Ceará	664	573	940
Pernambuco	228.727	236.767	237.367
Bahia	52.808	77.504	77.401
Minas Gerais	12.734	11.557	12.615
São Paulo	172.868	146.790	142.063
Paraná	79.052	80.910	80.000
Santa Catarina	53.153	66.106	69.189
Rio Grande do Sul	808.267	812.537	876.286
Goiás	4.581	3.330	3.492
Brasil	1.412.854	1.436.074	1.499.353

Fonte: Mello (2016).

No Rio Grande do Sul, a produção de vinhos, suco e derivados foi de 583.015 milhões de litros em 2015 (IBGE, 2016). O segmento de suco tem sido uma alternativa para a sustentabilidade da vitivinicultura gaúcha, pois tem absorvido uma boa parte da produção de uvas americanas e híbridas que tradicionalmente eram destinadas apenas para a produção de vinhos de mesa.

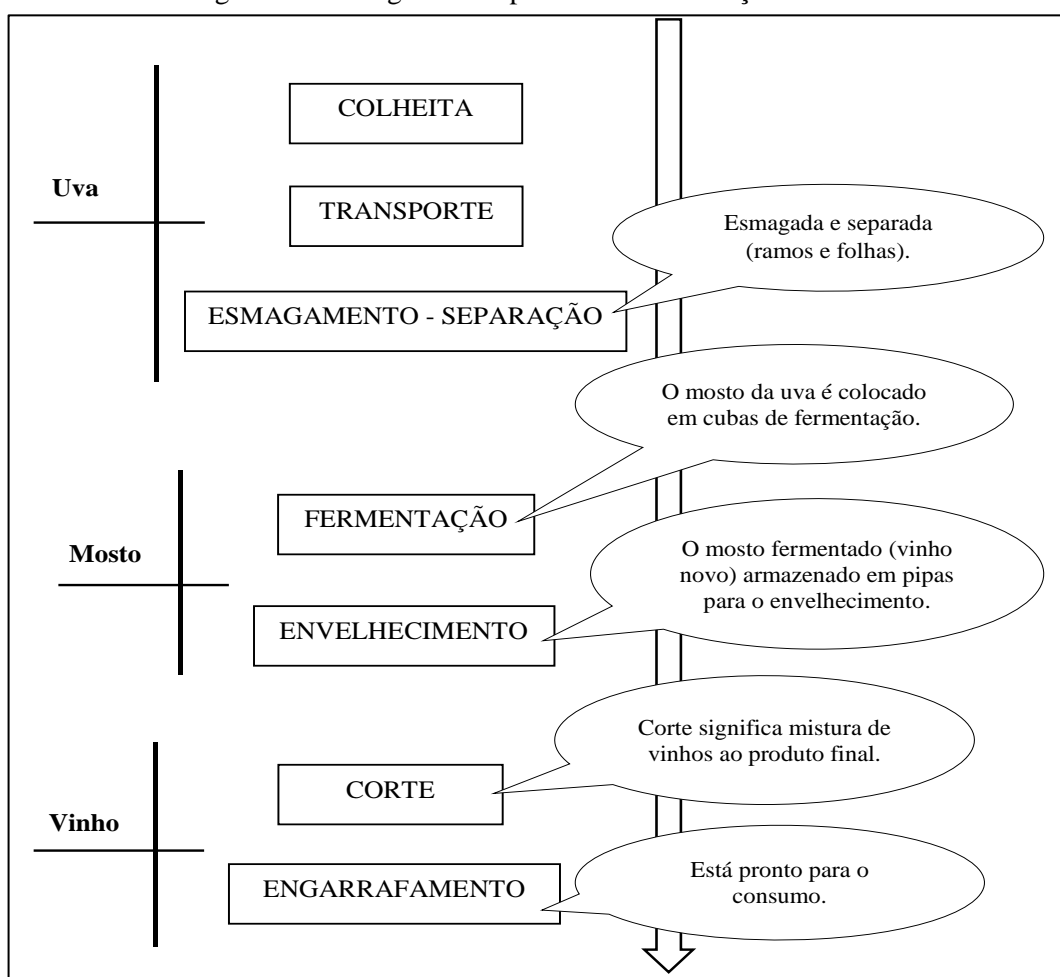
A produção de uvas destinadas ao processamento de vinho, suco e derivados foi de 781.412 milhões de quilos de uvas em 2015, representando 52,12% da produção nacional. O restante da produção (47,88%) foi destinado ao consumo *in natura* (MELLO, 2016). No entanto, há uma grande variabilidade no material genético utilizado, sendo mais de 120 cultivares de *Vitis vinífera* e mais de 40 cultivares de uvas americanas, incluindo castas de *Vitis labrusca*, *Vitis bourquina* e de híbridas interespecíficas (CAMARGO et al., 2011).

Conforme relata o site <http://www.winesofbrasil.com/pt/>, atualmente a produção de vinhos finos no Brasil chega a 10.000 hectares de uvas *Vitis vinífera*. São, aproximadamente, 150 vinícolas elaborando vinhos finos espalhadas pelo país. A indústria vitivinícola brasileira é formada por cerca de outras 1.000 vinícolas, a maioria instalada em pequenas propriedades (média de 2 hectares por família), dedicando-se à produção de sucos, vinhos de mesa ou artesanais.

O processo de vinificação tem início na avaliação das condições sanitárias e da maturação da uva, considerando que esta é mensurada pela medida de sólidos solúveis conhecido como *brix* (os principais são açúcares), presentes na uva. Equipamentos específicos processam o desengaçamento, que consiste em separar o grão do engaço e, posteriormente, o esmagamento, quando as bagas passam por uma prensa de borracha para romper sua casca e liberar o suco (FERNANDEZ, 2008). Após ocorre o chamado processo de fermentação que dá origem ao vinho.

No processamento da uva para a obtenção de sucos, vinhos e derivados, pela indústria vitivinícola, geram-se diversos resíduos como a borra, sementes e o bagaço, sendo este último o mais representativo dos co-produtos (CRUZ et al., 2010). Estima-se que, aproximadamente, 80% da produção mundial de uva seja destinada à fabricação de vinhos, e que para cada 100 litros de vinho são gerados de 25 a 31 Kg de resíduos, sendo de 13 a 17 Kg só de bagaço. Ao considerar que, em 2009, cerca de 680 mil toneladas de uva foram destinadas à produção de sucos, vinhos e derivados, pode-se inferir que a quantidade de co-produto gerado foi de aproximadamente 135 mil toneladas (20%). Na figura 2 destacamos, de forma simplificada, a fabricação do vinho.

Figura 2 – Fluxograma simplificado da fabricação do vinho



Campos (2005) relata que o bagaço de uva é composto por 40% de fibra, 16% de óleo, 11% de proteínas, 7% de compostos fenólicos, açucares e sais minerais. Relata ainda que a casca da uva é uma fonte de antocianidinas e antocianinas, que são considerados corantes naturais e também possuem propriedades antioxidantes. Este bagaço de uva pode ser considerado um problema ambiental, e possui pH baixo e elevados teores de compostos fenólicos, antibacterianos e fitotóxicos, dificilmente degradados no ambiente. Na figura 3 podemos observar a uva em processo de fermentação.

Figura 3 – Uva no processo de fermentação



Fonte: Clube dos vinhos (2016).

Os problemas agronômicos associados à aplicação do bagaço de uva no solo podem ser minimizados ou eliminados por vermicompostagem, um processo bio-oxidativo no qual as minhocas deteriorizam interagindo com os micro-organismos no processo de decomposição, acelerando a estabilização da matéria orgânica e modificando as propriedades físico-químicas (DOMÍNGUEZ et al., 2016).

Atualmente estes co-produtos também têm sido aplicados na produção de etanol, para extração de ácidos orgânicos, produção de óleo de semente de uva e outros ingredientes alimentares. Ainda, em muitos casos, é aplicado como fertilizante, ração animal e adubo (CRUZ et al., 2010).

Em outro caminho tem-se que os subprodutos da uva, tanto as sementes como o bagaço, são fontes para extração de antioxidantes. De acordo com sua composição química e devido às suas propriedades, estes subprodutos podem ser úteis como uma fonte de ingredientes funcionais, ou seja, como suplementos alimentares (BARROS et al., 2014; ROCKENBACH et al., 2007).

Conforme Bottti (2016), o bagaço é resíduo do processo de elaboração de vinhos e sucos e apresenta valor alimentício comprovado. O autor confirma que este co-produto é rico em polifenóis e antioxidantes naturais. Os compostos que se destacam pela real importância são os flavonoides (antocianina e flavonóis), os estilbenos (resveratrol), além dos ácidos fenólicos (derivados dos ácidos cinamicos e benzóicos) e uma larga variedade de taninos. Estes antioxidantes naturais atuam como sequestradores de radicais livres, promovendo a vasodilatação e inibindo enzimas como fosfolipase, ciclooxygenase e lipooxigenase, além de reduzir a peroxidação lipídica (SOUZA, 2011).

3.3 APLICAÇÕES DE CO-PRODUTOS DA UVA

Rondeau et al. (2012) estudaram a extração de taninos condensados a partir de oito amostras de bagaço de uva tinta e branca. O objetivo dos autores era a obtenção de adesivos para madeira. Como resultados foram obtidas diferenças nas composições dos extratos com amostras contendo 3-6% m/m de óleo e 20-46% m/m de açúcares, principalmente glucanos e xiloglucanos. Os autores observaram também baixos teores de polissacárido e pectáceos, sendo que os taninos condensados representaram 20-51% m/m das extrações feitas com água. Quanto às propriedades adesivas, os resultados foram considerados promissores.

Mendoza et al. (2012) utilizaram métodos de extração com solventes e aquecimento (Soxhlet) seguido por fracionamento com hexano, clorofórmio e acetato de etila dos bagaços. A determinação da composição química foi feita por CLAE. Os resultados identificaram que a fase de acetato de etila continha a maior variedade de compostos fenólicos. Quanto aos compostos químicos, a queracetina foi identificada em quase todas as frações. Além disso, os autores avaliaram a atividade antifúngica destes extratos com a *Botrytis cinerea*, sendo que as frações hexano e clorofórmio apresentaram o melhor efeito inibitório sobre o crescimento micelial deste fungo, com um valor IC₅₀ de 40 ppm. Desta forma, os autores indicaram que o bagaço de uva tem um potencial antifúngico.

Díaz et al. (2013) avaliaram a fermentação de uma mistura de bagaço de uva e casca de laranja através de via hidrolíticas por *Aspergillus awamori*. Estas foram testadas em duas configurações de biorreatores. Os autores consideraram promissores os resultados, indicando ser uma alternativa viável a utilização de bagaços para obtenção de álcoois.

Já Melo et al. (2015) avaliaram o potencial antioxidante de extratos hidroalcoolicos de bagaço de uva. Como resultados indicaram que concentrações moderadas de etanol (43% e 57%) combinada a uma temperatura moderada, foram as melhores condições para a extração de compostos antioxidantes. Nestes extratos foram identificadas moléculas como catequina, procianidina B1, epicatequina e ácido gálico. Além disso, os mesmos apresentaram baixa toxicidade contra células RAW 264. Como conclusão, os autores indicaram que o bagaço tem grande potencial na aplicação das indústrias alimentícia e farmacêutica.

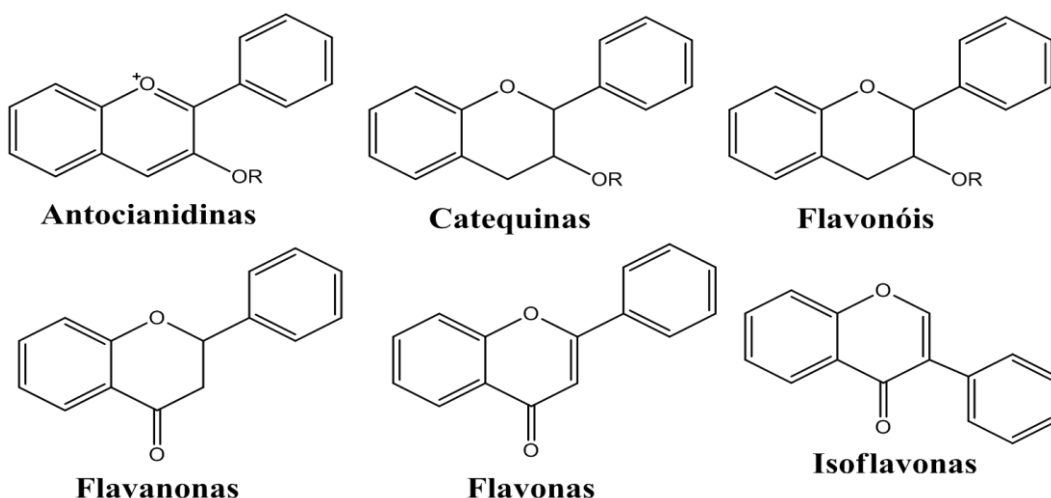
No mesmo caminho, Kabir et al. (2015) foram capazes de extraer polifenóis em bagaço de uva utilizando sistemas enzimáticos de celulase e glucoamilase. Para caracterizar os extratos foram utilizados os métodos DPPH[•] (capacidade antioxidante) e Folin-Ciocalteu (compostos fenólicos totais). Os resultados mostraram que ambos os extratos (extraídos com

celulase e com glucoamilase) de bagaço de uva mostraram-se eficientes como antioxidantes. Assim, os autores indicaram que sistemas enzimáticos são eficientes para extração de compostos ativos a partir de bagaço de uva.

3.4 COMPOSIÇÃO QUÍMICA DOS RESÍDUOS DE UVA

A composição química dos resíduos de vinificação é marcada pelos compostos fenólicos como antocianinas, catequinas, ácidos fenólicos, álcoois e estilbenos, como mostra a figura 4 (MENDOZA et al., 2012). Como relata Ferrari (2010), a composição química do bagaço de uva está relacionada com a intensidade da prensagem que é sofrida durante o processo industrial.

Figura 4 – Estruturas químicas de alguns compostos fenólicos



Segundo Marino et al. (2005), 60% dos polifenóis da uva encontram-se nas sementes e estes apresentam quantidades elevadas de flavan-3-ols, catequina e epicatequina. Assim, a maioria destes compostos são também identificados nos resíduos de uva (FONTANA et al., 2013). Por isso, o bagaço de uva é um dos subprodutos agrícolas que tem recebido a maior atenção dos cientistas (LOMILLO et al., 2014).

No mesmo caminho, Melo et al. (2015) identificaram e quantificaram compostos fenólicos por cromatografia líquida de alta eficiência em fase reversa (CLAE-UV) após processo de extração em subprodutos de uva. Neste trabalho, os autores encontraram onze compostos fenólicos distribuídos em cinco classes diferentes: ácidos gálico e siringal (ácidos hidroxibenzóicos), procianidinas B1 e B2 (proantocianidinas), catequina, epicatequina, galato de epicatequina (flavan-3-ols), 3-D-glicosídio de quercertina (flavonol), 3-glicosídio de

delfnidina, 3-O-glicosídio de peonidina e 3-glicosídio de malvidina (antocianinas), catequina, procianidina B1, epicatequina e ácido gálico.

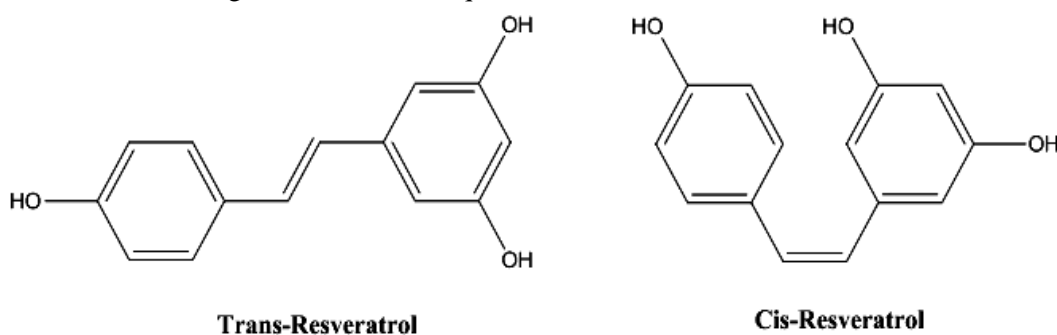
3.4.1 Resveratrol

Entre os compostos fenólicos mais conhecidos está o resveratrol, o qual é encontrado na videira estando presente nas folhas. Na uva atua como agente protetor contra os raios ultravioletas. Também inibe o processo da infecção, fator que o inclui numa classe de antibióticos naturais chamados fitoalexinas.

Este composto é encontrado no vinho, sucos de uva e também no resíduo de vinificação. Suas concentrações variam de acordo com a origem e o tipo da uva, o processo de vinificação ou extração do suco e a infecção fúngica ocorrente na videira (FREITAS et al., 2010). Este composto é um polifenol da família das viniferrinas e possui atividade antioxidante capaz de inibir a oxidação de lipoproteínas de baixa densidade (FERNANDES, 2008). Este composto é biosintetizado sob duas formas isoméricas: cis e trans (BOTTI, 2016), como mostra a figura 5 a seguir. O trans-resveratrol é fotossensível e está localizado, principalmente, na casca da uva, sendo transformado e isomerizado para a forma cis na presença de luz.

O resveratrol é um composto fenólico que apresenta atividade de inibição da agregação plaquetária e coagulação. Também apresenta ação anti-inflamatória e regula o metabolismo lipoproteico (BOTTI, 2016). A partir destas propriedades, a medicina oriental tem utilizado este composto, ou frações enriquecidas do mesmo, no tratamento de arteriosclerose, infecções inflamatórias e alérgicas (BOTTI, 2016). Este mesmo autor identificou a presença de resveratrol em resíduos de vinificação.

Figura 5 – Estruturas químicas do cis- e trans-resveratrol



3.5 COMPOSTOS FENÓLICOS COMO ANTIOXIDANTES

Por definição, antioxidante é qualquer substância presente em baixas concentrações quando comparada a do substrato oxidável, que retarda ou bloqueia a oxidação deste substrato de maneira eficaz. Conforme Bianchi et al. (1999), os antioxidantes são agentes responsáveis pela inibição e redução das lesões causadas pelos radicais livres nas células. Os antioxidantes podem ser classificados em dois grupos: enzimáticos e não enzimáticos. Entre os enzimáticos estão a superóxido dismutase, catalase e glutationa peroxidase. Os antioxidantes não enzimáticos são moléculas que interagem com as espécies radicalares e são consumidas durante a reação. Nesta classificação incluem-se os antioxidantes naturais e sintéticos como os compostos fenólicos (ANGELO et al., 2006).

Entre os compostos fenólicos estão as proantocianidinas, as antocianidinas, os flavanoides e as flavonas (SALES et al., 2012). Lomillo et al. (2014) estudaram resíduos de vinificação que apresentaram capacidade antioxidante e propriedades antimicrobianas, também retardaram com sucesso o início da oxidação lipídica no teste Rancimat.

Domínguez et al. (2016) determinaram o teor de compostos fenólicos em bagaço de uva através do método colorimétrico Folin-Ciocalteau. Os autores identificaram altas concentrações de polifenóis como ácido gálico, catequina e epicatequina como principais compostos.

3.6 MÉTODOS DE EXTRAÇÃO

Diversos estudos destacam a extração de compostos químicos de co-produtos da uva. A obtenção de produtos puros de um extrato é um processo longo, caro e necessita de várias etapas. Normalmente, estes compostos são instáveis e obtidos em quantidades reduzidas; em razão desta realidade é conveniente o uso de diferentes técnicas de isolamento. Assim, a escolha do solvente correto bem como da técnica mais adequada conseguimos obter melhores resultados. Se for escolhido o uso de solventes de baixa polaridade ou apolares obtêm-se compostos mais lipofílicos. No entanto, com solventes alcoólicos ou mais polares é possível obter uma quantidade maior de compostos químicos. Após a obtenção dos extratos brutos, os fracionamentos permitem uma divisão mais fina em frações de distintas polaridades (QUEIROZ et al., 2014).

Atualmente, a descoberta de fármacos provenientes de produtos naturais envolve diversas áreas do saber, bem como diversos métodos de análise. O processo se inicia tipicamente com um botânico ou um etnobotânico, o qual coleta e identifica plantas de interesse medicinal (BAKER et al., 1995). Os métodos de extração são utilizados para a obtenção dos extratos, sendo que estes passam por ensaios para a avaliação de seu potencial biológico. Diversos processos de isolamento e de caracterização das frações são realizados com a finalidade de elucidar as estruturas químicas envolvidas nas atividades observadas (BALUNAS; KINGHORN, 2005).

De modo geral, antes de se iniciar uma metodologia de extração é necessário verificar a estabilidade dos compostos químicos em relação a cada método. Processos de degradação podem ser originados a partir de diversos fatores como presença de luz, exposição ao ar, tempo de extração e temperatura. Enzimas presentes nas amostras também podem ser liberadas para o solvente de extração e levar a reações de degradação. Radicais livres podem, por exemplo, ser formados e contribuir para a modificação estrutural dos compostos de interesse (BIESAGA, 2011).

Um dos grandes desafios nos processos de extração de moléculas, a partir de matrizes complexas (como o caso dos materiais vegetais), se deve ao fato de que os compostos de interesse estão impregnados dentro das matrizes. Dessa forma, é importante a utilização de técnicas seguras que permitam a extração adequada desses compostos bioativos (TIWARI, 2015). A maior parte dessas técnicas é baseada no poder de extração de diferentes solventes e também na aplicação de aquecimento ou mistura. As técnicas clássicas são compostas pelo uso de soxhlet, maceração e hidrodestilação, sendo que outras técnicas, atualmente, também estão sendo utilizadas como digestão enzimática, extrusão, uso de micro-ondas, fluidos supercríticos e solventes acelerados (AZMIR et al., 2013).

Cada técnica apresenta vantagens e desvantagens intrínsecas, porém a escolha da técnica de extração deve levar em conta a capacidade de solubilização dos compostos de interesse, evitando-se a ocorrência de modificações químicas. A taxa de eficiência de cada método de extração também é influenciada por diversos fatores como o tipo e concentração dos solventes utilizados, razão solvente-sólido, tempo de extração, temperatura empregada, pH, entre outros (CÚJIC et al., 2016).

A seleção do método para a extração de componentes ativos com o máximo de rendimento e altos níveis de pureza depende, principalmente, da natureza e da estabilidade térmica dos compostos químicos, bem como da natureza do material vegetal a ser processado (SHIRSATH et al., 2012). As técnicas de extração para a obtenção de compostos fenólicos

simples como ácidos benzoicos, aldeídos, ácidos cinâmicos e catequinas, a partir de materiais sólidos e semissólidos, consideravelmente baseiam-se em técnicas de maceração com a utilização de solventes orgânicos. Nessa técnica, a amostra é colocada em contato com solventes, com ou sem agitação, por um longo período de tempo à temperatura ambiente ou sob aquecimento, até a completa solubilização dos compostos químicos no solvente. Porém, devido ao longo tempo envolvido nesse processo de extração, os compostos podem sofrer modificações químicas (GARCIA-SALAS et al., 2010). Em relação a compostos termo sensíveis, técnicas de extração conduzidas em altas temperaturas podem prejudicar a qualidade dos extratos bem como provocar a destruição dos compostos ativos (SHIRSATH et al., 2012).

Diferentemente da maceração, as técnicas de ultrassom são bem conhecidas por apresentarem alta eficiência e redução dos tempos necessários para a extração de compostos biológicos, bem como menor utilização de solventes nos processos além de sua alta reprodutibilidade (KHAN et al., 2010). Muitas classes de compostos têm sido extraídas por técnicas de ultrassom como aromas, pigmentos, antioxidantes e outros compostos orgânicos e minerais a partir de diferentes tipos de matrizes como tecidos animais, microalgas, leveduras, alimentos e vegetais (CHEMAT et al., 2017).

Segundo Yeo et al. (2015), o uso de diferentes técnicas de sonicação reduz, significativamente, o tempo de extração produzindo extratos com maior atividade antibacteriana com redução no consumo de solventes. Esta técnica poderia ser utilizada comercialmente por ser mais econômica e sustentável, sem o comprometimento da qualidade dos extratos. Esse método de extração emprega o uso de ondas de ultrassom que provocam colisões de alta velocidade entre as partículas do material usado na extração e o solvente promovendo uma maior dissolução dos compostos químicos. As taxas de rendimento obtidas nesse tipo de extração estão diretamente ligadas à estrutura, bem como à reologia e à composição do material vegetal, que pode apresentar diferentes graus de resistência às ondas de ultrassom (VILKHU et al., 2008).

As técnicas envolvendo extração por micro-ondas são conhecidas pela eficiência da extração de metabólitos a partir de materiais biológicos diversos. Entretanto, os fatores limitantes dessa técnica estão relacionados com a potência e a frequência utilizadas no equipamento, temperatura de extração, pressão de extração e escolha do tempo de duração da exposição da amostra à radiação de micro-ondas. Outro fator limitante é a escolha do solvente adequado que deve permitir a absorção da energia pelo equipamento (ZHANG et al., 2011).

Por outro lado, os benefícios apresentados por essa técnica estão relacionados ao menor tempo de extração e menor consumo de solventes em relação aos métodos convencionais.

Trusheva et al. (2007) indicam que a utilização da técnica de ultrassom resultou em altos rendimentos, alta seletividade de compostos de interesse, assim como em redução do tempo de extração. Os estudos de Khacha-Ananda et al. (2013) também comprovaram que as técnicas de ultrassom resultaram em extratos, a maior concentração de flavonoides e fenólicos totais, como também maior atividade antioxidante em relação aos extratos obtidos por maceração.

Entre os métodos de extração destacam-se:

- Extração micro-ondas:

Esta técnica tem o princípio no efeito direto da energia de micro-ondas sobre as moléculas através da condução iônica e da rotação dos dipolos. Quando o campo magnético é aplicado há uma migração dos íons e uma movimentação dos dipolos, o que provoca calor. A extração com micro-ondas de compostos fenólicos em resíduos de uva, em cascas e sementes, revela eficiência na recuperação de antioxidantes.

- Extração por ultrassom:

Este método atua na superfície da matriz da amostra produzindo maior contato com o meio de extração. É um processo no qual a energia é dissipada através de ondas eletromagnéticas (cavitação). Têm sido aplicados para a extração de compostos orgânicos não voláteis e pouco voláteis. Alguns autores têm demonstrado a eficiência do método para extração de lipídeos, proteínas e compostos fenólicos das plantas, resíduos de uva (GRAEBIN, 2014). É um método com boa reprodutibilidade, rápido, de baixo custo, além de possibilitar a utilização de amostra de diversos tamanhos de partícula (LUZ, 1998).

- Extração sólido-líquido:

Este é considerado o método padrão para separação/purificação em indústrias. Neste método, a separação da fase líquida pode ser realizada através de processos de filtração, ou mesmo por decantação. No entanto, a eficiência do processo de extração é inversamente proporcional ao tamanho das partículas. Existem duas técnicas de extração: contínua ou descontínua. Se a substância for mais solúvel no solvente orgânico do que na água recorre-se ao método descontínuo, caso contrário utiliza-se o método contínuo. A escolha do solvente é feita a partir da facilidade de dissolução da substância em que se pode isolar o soluto extraído. Caso seja necessária energia (aquecimento) pode-se utilizar uma técnica na qual é utilizado solvente em ebulição (CAMPOS, 2005).

4 RESULTADOS E DISCUSSÃO

Os resultados deste trabalho estão apresentados na forma de artigo científico, que será submetido à revista *Journal of Science Food Agriculture* – Editado pela Wiley.

1 Chemical composition of extracts from vinification by-products: By solvent,
2 ultrasound and microwave assisted methods

3

4

5 Vania Pezzini,[†] Fabiana Agostini,[†] Franco Smirdele,[†] Luciana Touguinha[‡] Mirian Salvador[‡]
6 Sidnei Moura^{†*}

7

⁸ † LBIOP – Laboratory of Biotechnology of Natural and Synthetic Products, Technology
⁹ Department, Biotechnology Institute, University of Caxias do Sul, Caxias do Sul, Brazil.

10

11

‡ LEOA – Laboratory of Oxidative Stress and Antioxidants, Biotechnology Institute,
University of Caxias do Sul, Caxias do Sul, Brazil.

14

15

16

17

18

¹⁹ Getúlio Vargas st., CEP 95070-560, Caxias do Sul, Brazil.

19 Getúlio Vargas st., CEP 95070-560, Caxias do Sul, Brazil.

20

21 Phone: + 55 54 3218 2100

22

23 E-mail addresses: sidnei.moura@ucs.br

24

25

26 **Abstract**

27

28 **Background:** According to the exponential increase of the world population, the
29 industry has expanded to meet the demand for food. In this context, industrial waste from the
30 winemaking process is produced on a large scale and often discarded in the environment,
31 causing great impact. However, some of these residues, as wine by-products, had shown
32 valuable compounds because of their structural characteristics and biological activities, such
33 as the flavonoids. In this context, this work aims at the production of enriched extracts in
34 active biomolecules from grapes juice industry by-products through four different extraction
35 methods.

36 **Results:** As results, we observed different yields as well as chemical composition,
37 from the extraction methods: liquid-liquid; Ultrasound; and Microwave, with variation of the
38 solvents polarity. The chemical composition was determined by High Efficiency Liquid
39 Chromatography with UV-Vis detector, with the identification of 6 compounds: catechin,
40 resveratrol, hesperidin, gallic acid, epicatechin, naringin in concentrations ranging from 0.01
41 to 5.01 mg/Kg. In addition, the extracts were evaluated by High Resolution Mass
42 Spectrometry (HRMS), where 14 were identified, with the presence of glycosylated
43 flavonoids, in the ESI (+) and ESI (-) modes. Also, the crude extract was fractionated through
44 open column with silica as stationary phase, which made it possible to obtain enriched
45 extracts in Resveratrol (maximum of 5.9 µg/mL), with increasing solvent polarity. The
46 antioxidant activity and the total phenolic content were evaluated by the DPPH and Folin-
47 Ciocalteau method respectively, highlighting these fractions obtained with polar solvents. The
48 percentage of inhibition of the DPPH radical was ranging from 14.2 and 74.2%, and the total
49 phenolic content expressed in mg/100g Gallic acid, ranging from 0.1 and 107.0mg
50 GAE/100g.

51 **Conclusion:** The grape juice industry's by-product can be better utilized, with
52 applications ranging from the food industry, cosmetics, among others, according to a wide
53 range of phenolic compounds present. In this way, the microwave assisted extraction using
54 polar solvents, such as ethanol and water, showed the best yield and chemical composition
55 rich in flavonoids. Thus, it has been showed that it is possible to transform an environmental
56 problem into a product rich in antioxidant compounds.

57

58 **Keywords:** Grape; Industrial By-products; Extraction; HPLC-UV; HRMS; Flavonoids.

59

60 INTRODUCTION

61

62 In the last century, the world population has increased fivefold. In 1900, it was about
63 1.5 billion people, while in 2000 there were almost 7 billion humans on the planet.¹ At this
64 rate, the planet should reach 2100 with 11.2 billion human beings, a growth of 53% compared
65 to the present. This fact has required an industrial expansion, with a recurring increase in
66 waste generated from processes, which need to be conveniently discarded.

67 Inserted in this context is the wine sector, which is generating a large number of by-
68 products. The grape is cultivated all over the world mainly in the temperate zone with a total
69 of 107.3 million tons of which 57% was used for winemaking in 2014.² However, its residue
70 has attracted researchers' attention, because its chemical composition is based on phenolic
71 compounds, which are natural antioxidants. These secondary metabolites are produced in
72 plants, also in *Vitis labrusca*, as a response to various forms of environmental stress.³ Its
73 features are attributed to the polyunsaturation, able to reduce the activity of free-radicals as
74 scavengers, electron or hydrogen donors and strong metal chelators, thus preventing the lipid
75 peroxidation, DNA damage and others.⁴⁻⁵

76 Nevertheless, these compounds are not homogenously distributed on plants tissue,
77 cellular and subcellular levels, while the insoluble are the cell walls constituents, the soluble
78 are compartmentalized within the plant cell vacuoles.⁶⁻⁹ Also, the chemical nature of these
79 compounds can range from low to highly polymerized substances, including a variable
80 proportion of phenolic acids, anthocyanins and tannins.¹⁰ By the way, the extraction efficiency
81 is directly influenced by the energy method, the compounds thermal stability, the sample
82 particle size, as well as the other substances interferences (in complex mixtures as plants
83 extracts). In recent years it's been featured the evolution of some techniques, which have been
84 applied to phenolic extraction, such as ultrasound for propolis samples.¹¹ In this way,
85 microwave has also been applied for extraction of active compounds of plants.¹²

86 Therefore, this work aims the reduction of an environmental problem, caused by
87 wineries by-products, with the generation of a value-added product as enriched phenolic
88 extracts. Thus, different extraction methods were tested: microwave; Ultrasound;
89 conventional liquid-liquid system with different solvent. The chemical characterization was
90 by High-Performance Liquid Chromatography (HPLC-UV), and High Resolution Mass
91 Spectroscopy (HRMS). The antioxidant capacity of the extracts, were determined by the
92 DPPH method, and the total phenolic was determined by Folin-Ciocalteau method.

93

94 **MATERIALS AND METHODS**

95

96 **Chemicals**

97

98 Calibration curves for HPLC were constructed for the following polyphenols
99 standards: gallic acid, catechin, chlorogenic acid, epicatechin, rutin, ferulic acid, naringin,
100 hesperidin, myricetin, resveratrol, quercetin and vitexin (all obtained from Sigma-Aldrich).
101 The acetonitrile HPLC (chromatographic analyses) grade was purchased from Sigma-Aldrich
102 also. For the chromatographic analyses HPLC-grade ultrapure water was prepared using a
103 Milli-Q system. The solvents used for extraction process (hexane, chloroform, ethyl acetate,
104 ethanol, water) in P.A. grade, were purchased from Merck®

105

106 **Grapes by-products**

107

108 Grapes of varieties of V. labrusca L. Bordo and Isabel were cultivated in the State of
109 Rio Grande do Sul, in the Southern Region of Brazil. The grapes were cultivated in the
110 conventional systems were used for grape juice preparation through an industrial-scale
111 technological process. The grapes were manually harvested at the stage of technical maturity,
112 with soluble solids readings between 14 and 20 Brix, according to OIV.¹³ After harvesting,
113 grapes were kept separately at room temperature (20°C) until juice processing within a period
114 of 2 days. The juice was produced through a continuous-flow process, with the grapes berries
115 crushed using an industrial mechanical crusher (EDA, São Paulo, Brazil) and immediately
116 pumped through a tubular heat exchanger ($85 \pm 1^\circ\text{C}$ for 10s) (Boff, Vacaria, Brazil). The
117 extracted grape juice was centrifuged at 5000g for 10min using a 600 Series Pieralisi decanter
118 centrifuge (Jesi, Italy). This solid by-product carried-out from centrifugation process was the
119 one used in this work. After this process, and before the extraction, it was maintained at 4°C
120 in the absence of light, for a maximum period of 20 days.

121

122

123

124

125

126

127

128 **EXTRACTION METHODS AND FRACTIONATION**

129

130 **Ultrasound**

131

132 Ultrasound assisted extraction was performed as described by Oliveira.¹⁴ Briefly, 5g of
133 grape by-product were weighed individually, to which were added 100ml of each solvent
134 (hexane, ethylic alcohol, chloroform, ethyl acetate and ultra-pure water). Extractions were
135 carried-out with ultrasound probe (model Vibra-cell, Sonics®), working at 30% of amplitude
136 and potency 500W for a period of 20min. After, samples were filtered, and the respective
137 solvents were dried under vacuum in a rotary evaporator. The resulting samples were
138 conditioned at -20°C for further evaluation.

139

140 **Microwave**

141

142 The microwave extractions were performed as described by Barba et al.¹⁵ Briefly, to
143 2g of grape by-products were weighed individually 10ml of each solvent (hexane, ethylic
144 alcohol, chloroform, ethyl acetate and ultra-pure water). The extractions were performed at
145 110°C for a period of 20min, at 850W of potency, using the microwave equipment
146 (Monowave 300, Anton Paar®). After the samples were filtered and dried under vacuum
147 (rotatory evaporator). The resulting samples were conditioned at -20°C for further evaluation.

148

149 **Liquid-liquid**

150

151 The liquid-liquid process was adapted from Mendoza et al.¹⁶ Briefly, 10g of by-
152 products were extracted with solvents in increasing order of polarity (hexane, after
153 chloroform, after ethyl acetate, and after ethylic alcohol (3 × 30mL, for each solvent) using a
154 separation funnel. After separation, the solvent was filtered and dried under vacuum (rotatory
155 evaporator) individually. The resulting samples were conditioned at -20°C for further
156 evaluation.

157

158 **Fractionation**

159

160 The fractionation was conducted using an open column (4cm × 45cm) with 147g of
161 silica gel and 22.4g of grape by-product. Initially chloroform (100-60%), and ethyl acetate (0-

162 40%) was used as mobile phase. After, the mobile phase was changed to methanol (5-100%)
163 and ethyl acetate (95-0%). 255 fractions were collected and analyzed by thin layer
164 chromatography (TLC), using mobile phase constituted by chloroform: ethyl acetate (7:3).
165 The TLC plates were visualized under UV light at 254 and 365nm, and also stained with
166 vanillin-sulphuric acid spray and further heating. The fractions with similar chromatographic
167 profiles were pooled and the solvent was removed by rotary evaporator. Altogether, 12
168 different fractions were obtained.

169

170 **HPLC analysis**

171

172 All HPLC analyses were carried out on a Hewlett-Packard 1100 system equipped with
173 quaternary pump, auto-sampler, degasser and UV-VIS detector. The column used was a
174 Lithosphere C18 (250mm × 4mm, particle size 5µm) with a guard column of the same
175 material. Chromatographic data were acquired and processed using the HP ChemStation
176 software. Mobile phase consisted of solvent A (aqueous solution with 1% v/v phosphoric
177 acid) and solvent B (ACN). The injection volume was 5 µL and polyphenols were eluted
178 using a gradient system with 90% A for 5min, 60% A 5 to 40min and then 90% A 45 to
179 50min. Run time was 50min and the flow was 0.5mL/min. The analysis was monitored at
180 210nm according to modified chromatographic method reported by Morelli.¹⁷ The samples
181 were filtered through a 0.45µm nylon membrane prior to analysis. Peaks were identified by
182 comparing their retention time and UV–Vis spectra with reference compounds and data were
183 quantified using the corresponding curves of the reference compounds as standards (gallic
184 acid, catechin, chlorogenic acid, epicatechin, rutin, ferulic acid, naringin, hesperidin,
185 myricetin, resveratrol, quercetin and vitexin). All standards were dissolved in methanol and
186 the results were expressed in mg/Kg of extract.

187

188 **Mass analysis**

189

190 The ethyl acetate total extract and the fractions were diluted in a solution of 50% (v.v)
191 chromatographic grade acetonitrile (Tedia, Fairfield, OH, USA), 50% (v/v) deionized water
192 and 0.1% formic acid. The solutions were infused directly individually or with HPLC
193 (Shymadzu) assistance into the ESI source by means of a syringe pump (Harvard Apparatus)
194 at a flow rate 10µL·min⁻¹. ESI(+)·MS were acquired using a hybrid high-resolution and high
195 accuracy (5µL) microTOF-QII mass spectrometer (Bruker® Daltonics) under the following

196 conditions: capillary and cone voltages were set to +3500V and +40V, respectively, with a de-
197 solvation temperature of 100°C. Diagnostic ions were identified by the comparison of exact
198 *m/z* with compounds determined in previous studies. For data acquisition and processing,
199 Hystar software (Bruker® Daltonics) was used. The data were collected in the *m/z* range of
200 70-800 at the speed of two scans per second, providing the resolution of 50.000 (FWHM) at
201 *m/z* 200. No important ions were observed below *m/z* 100 or above *m/z* 800.

202

203 **Total phenolic content**

204

205 Ethyl acetate total extract and the fractions (04-11) were individually diluted in a
206 hydrochloric solution (70%) at a concentration of 0.5mg/mL. Each sample (0.5ml) was
207 diluted in a Folin-Ciocalteau solution 0.2 N (2.5ml) for 5 minutes. After, 2ml of sodium
208 carbonate solution (7.5%) was added and the samples were incubated at 50° ± 1.0°C for 5min.
209 The absorbance of the reactions was measured at 760nm at spectrophotometer.¹⁸ Gallic acid
210 was used as a standard compound in a range of 20-220µg/mL to construct a standard curve.

211

212 **Antioxidant activity**

213

214 DPPH[•] radical scavenging activity of the extracts were measured using a method
215 modified from that of Yamaguchi *et al.*¹⁹. The extracts obtained in the ultrasonic, microwave
216 and liquid-liquid extractions were added to the Tris-HCl buffer (100nm, pH 7.0) containing
217 250µm of DPPH[•] dissolved in ethanol. Tubes were stored in the dark for 20 minutes and then
218 the absorbance was read at 517nm (model UV-1700 spectrophotometer, Shimadzu, Kyoto,
219 Japan). Results were expressed as percentage of inhibition of the DPPH[•] radical.

220

221 **Statistical Analysis**

222

223 Phenolic quantification and antioxidant activity were expressed as mean ± standard
224 deviation obtained from three independent experiments. Statistical analyses were performed
225 using the Statistical Package for Social Sciences (SPSS, version 21.0) for Windows (Illinois,
226 USA). Kolmogorov-Smirnov test was used to assess for the parametric distribution of data.
227 Statistical significance was evaluated using one-way analysis of variance (ANOVA), followed
228 by Tukeys post hoc test. Results are deemed significant if *p*-value was less than 0.05.

229

230 **Discussion and Results**

231

232 As a result of the accelerated increase in the population density, there is a greater
233 demand for industrial products, with consequent waste generation.²⁰ Among these residues,
234 there are some with a high incidence of active antioxidant compounds, such as the residues
235 from the wineries (grape juice processing and derivatives). The state of Rio Grande do Sul is
236 the main producer of wines and derivatives in Brazil.²¹

237 Melo et al.²² and Anastasiadi et al.²³ in recent works, have determined the existence of
238 phenolic compounds in wine by-products, which can be reused in pharmaceuticals, cosmetics
239 and food additives sectors. However, there is a need to develop efficient and selective
240 extraction methods to obtain enriched extracts in phenolic compounds. On this way, we tested
241 three different processes using solvents with different polarities and different energy forms
242 (Microwave and Ultrasound). Table 1 shows the yield results (*m/m*) for the tested processes.

243

244 **Table 1.**

245

246 Liquid-liquid is a traditional extraction technique of metabolites in plants and
247 derivatives, which is related to the solubility difference of the chemical compounds.¹⁶ The
248 procedure advantages are the possibility of parameters adjustment such as pH, temperature,
249 time, particle size of the initial solid, among others. In this work, a higher relative yield in the
250 extracts with apolar solvents (hexane) and polar (ethanol and water) were observed. And the
251 yield has been ranging from 0.1 to 2% with water, ethanol and hexane¹⁶.

252 Except for hexane, the extracts yields carried-out from ultrasound were quite similar
253 which to those obtained with liquid-liquid, Table 1. In this process, occurs the phenomenon
254 known as cavitation, which improves the transference of heat through the cell walls,
255 facilitating the extraction of bioactive compounds. Palma and Barroso²⁴ tested ultrasound to
256 extract tartaric and malic acid from winemaking by-products. As a result, the amount ranges
257 from 130 to 199 ppm and 33 to 41 ppm of tartaric and malic acid respectively. The authors
258 had used methanol and water as solvents with variation of volume, temperature and time, as
259 well as ultrasound amplitude.

260 The microwave assisted extraction showed the highest relative yields. This procedure
261 has also been used to obtain bioactive plants and derivatives.¹⁵ In this process, the
262 electromagnetic energy, between 300MHz and 300GHz, is transferred in form of heat by ionic
263 conduction being enough to break the cells and release the active compounds. In the same

way, the process involves diffusion of the solvent through the sample matrix and consequent release of the metabolites.¹⁵ In addition, it is possible to make a temperature and energy gradient, facilitating the extraction without degradation of the active principles, evaluated the effects of microwave assisted extraction with polar solvents (water and ethanol) on wineries by-products, which were dried in different ways.^{25,26} The yields obtained by the authors were ranging from 2 to 16%, which the air dried showed the best results.

The chemical composition of the extracts and fractions is directly related to the solvents and the extraction methods used. For the qualification and quantification of the chemical compounds present in the extracts, we used High Performance Liquid Chromatography (CLAE-UVVis) detector, in method adapted from Morelli et al.¹⁷ The Figure 1 shows the selectivity of the analysis, where 12 compounds could be simultaneously analyzed (gallic acid, catechin, chlorogenic acid, epicatechin, rutin, ferulic acid, naringin, hesperidin, myricetin, resveratrol, quercetin and vitexin).

The chromatographic methods with different detectors have been widely used for the qualification and quantification of phenolic compounds in extracts of plants and industrial residues. For grape by-products using HPLC-UV, Brazinha et al.²⁷ and Anastasiadi et al.²³ had demonstrated selectivity analysis of four compounds (gallic acid, catechin, epicatechin and ferulic acid) and fourteen (gallic acid, catechin, epicatechin, procyanidin B2, epicatechin gallate, trans-resveratrol, quercetin, kaempferol, quercetin-3-O-galactoside, quercetin-3-O-glucoside, quercetin-3-O-coumaric acid and ferric acid) respectively.

284

285 Figure 1.

286

287 The Table 2 shows the parameters related to the analysis method developed for the evaluation of the phenolic compounds. Thus, for each standard a calibration curve was made, 288 with determination of linearity coefficients R^2 , as well as LOD detection limits and LOQ 289 quantification.

290

292 Table 2.

293

294 In our extracts, six of these compounds were identified, which are presented in Table 295 3. The gallic acid and naringin were the most prevalent ranging from 1.8 to 33.9mg/Kg and 296 0.3 to 5.6mg/Kg respectively in the microwave assisted extraction. By solvents, the most 297 polar (ethanol and water) presented the highest amount of the evaluated compounds.

According to our results, between the solvents investigated in the extraction of phenolic compounds, ethyl acetate and ethanol have been quoted for its efficiency.²⁸ In this way, catechins successful carried-out from grape berry using methanol and ethyl acetate as solvents by the shaker extraction method.²⁹ By this same method Ribeiro et al.³⁰ had extracted phenolic acids, among them gallic acid, using the polar solvents, ethyl acetate and water. As a main feature, the Resveratrol has been identified in ethanol and ethyl acetate from liquid-liquid, and microwave assisted extraction in concentrations ranging from 0.9 to 7.6mg/kg. Careri et al.³¹ and Yilmaz et al.³² identified the presence of resveratrol in wine-making residues. Trans-resveratrol is a phytoalexin and belongs to the class of stilbenes, consequently they are found in grape by-products, especially in red varieties.

308

309 **Table 3.**

310

311 Oliveira et al.¹⁴ extracted winemaking by-products using ethanol, water and ethyl acetate with ultrasound and identified gallic acid, p-OH-benzoic acid, vanillic acid and epicatechin by CLAE-UV in concentrations ranging from 0.5 to 5.1mg/Kg. In the same way, Melo et al.²² extracted grapes pomace and rachis using solvents of different polarity, including water and ethanol. The authors identified eleven different compounds, among them gallic acid, catechin, epicatechin in amounts ranging from 0.1 to 7.4mg/Kg.

317 In order to obtain fractions enriched in phenolic compounds, we tested the open
318 column fractionation using chloroform, ethyl acetate and methanol as mobile phase and silica
319 as the stationary phase. Thus, 255 fractions were separated, which after preliminary analysis
320 (Thin Layer Chromatography – TLC), were joined in a group of 12 with similar composition.
321 The Table 4 described the identified compounds (gallic acid, catechin and resveratrol) by
322 CLAE-UV. Resveratrol was extracted in higher concentrations in the fractions with
323 chloroform: ethyl acetate (7:3 until 3:4). All fractions collected by the fractionation method
324 showed the presence of gallic acid. Nugroho et al.³³ also used open column for the isolation of
325 phenolics from leaves of the species *Carica papaya*. The authors had used CHCl₃–MeOH–
326 H₂O (70:30:10, lower phase) as a mobile, carried-out 186 fractions where the myricetin-3-
327 rhamnoside, kaempferol-3-rutinoside, quercetin, kaempferol, and other phenolics were
328 isolated.

329

330 **Table 4.**

331

332 High Resolution Mass Spectrometry (HRMS) is a powerful tool for identification of
333 natural metabolites, for instance phenolics³⁴ and alkaloids³⁵ in complex mixture as extracts. By
334 HRMS, a set of information as exact mass and isotopic ratio can be used in the chemical
335 identification.^{36,37} In addition, for unequivocal identification and differentiation of isobaric
336 interferences, the fragmentation pathway is also powerful tool. In the extracts and fractions
337 was possible to identify 14 compounds by ESI (+) and ESI (-) mode, which are described in
338 Table 5. The Figure 2 shown a spectrum of HRMS in full ESI (-) mode for extract carried-out
339 in ultrasound using Hexane as solvent.

340

341 **Table 5.**

342

343 **Figure 2.**

344

345 The Figure 3 shows the chemical structures of the all compounds identified by HRMS.
346 The technique used in this work allowed the identification of two glycosides, malvidin-O-
347 glycoside and quercetin-3-O glycoside. Casas et al.⁴² carried-out extracts of grape using
348 methanol and water under pressure over which were determinated polyphenolic compounds
349 by HRMS being identified also gallic acid, catechin, epicatechin. Also, the authors had
350 reported the presence of resveratrol, stilbenes and derivatives such as O-glucosides, which
351 was found in the grapes stems.

352

353 **Figure 3.**

354

355 The flavonoids such as quercetin, malvidin and resveratrol, beyond the glycosylated,
356 such as quercitin-3-O-glucoside and Malvidin-3-O-glucoside, are known for their *in vivo*
357 antimicrobial, antifungal and antioxidant activities.^{14,16,43} These natural antioxidants act as
358 free radical scavengers, promoting vasodilation and inhibiting enzymes such as
359 phospholipase, cyclooxygenase and lipoxygenase, in addition to reducing lipid peroxidation.⁴⁴

360

361 **Antioxidant capacity**

362

363 Phenolic compounds have been featured as an important source of natural
364 antioxidants. The extracts were evaluated by DPPH (2,2-diphenyl-1-picrylhydrazyl) method,
365 **Table 6.**

366 Table 6.

367

368 Considering the solvents, the extracts with the highest antioxidant capacity were those
369 obtained with ethyl acetate and ethanol. Meanwhile, comparing the extraction modes, the
370 ultrasound allowed us to obtain the highest percentage ($74.22 \pm 2.07\%$) of scanning with ethyl
371 acetate solvent. In the liquid-liquid extraction, the highest percentage of sweep was obtained
372 by the ethyl acetate and ethanol solvents. In the microwave extraction, the highest percentage
373 of scanning was $36.64 \pm 2.44\%$, using ethanol as solvent. In the same way, Brazinha et al.²⁷
374 had reported that hydro alcoholic extracts showed higher DPPH values (up to approximately
375 80%).

376 Kabir et al.⁴⁴ had used enzymatic digestion for phenolic compounds extraction from
377 grape by-products. The obtained extracts showed a percentage of DPPH radical scan around
378 60 and 70%. Rajha et al.⁴⁵ carried out a study with ground grape, using solid-liquid extraction
379 with water as solvent, varying time and temperature parameters. According to the authors, the
380 scanning activity of the DPPH radical was 11% to 35%, which corroborates with the results of
381 the present study.

382

383 Total phenolic compounds

384

385 The phenolic compounds found in grapes and derivatives can be classified into three
386 main groups: (1) phenolic acids as benzenic and hydroxycinnamic; (2) flavonoids as
387 catechins, flavanols and anthocyanins; and (3) tannins and proanthocyanidins.²⁰ To determine
388 the amount of total phenolic, was used the Folin-Ciocalteau method adapted from Roesler, et
389 al.¹⁸. Comparing the extractions methods, it was observed that the samples with higher
390 content of polyphenols also had higher antioxidant activity, Table7.

391

392 Table 7.

393

394 In general, the extraction by ultrasound were inferior to those obtained in the
395 microwaves and liquid-liquid. However, the microwaves crude extracts showed the best
396 results (0.04 ± 13.18 to 6.02 ± 107.03 mg GAE/100g). Kabir et al.⁴⁴ using enzymatic digestion
397 for phenolic extraction, reported range from 33.19 to 41.05mg in comparison of chlorogenic
398 acid EQ/g dry bagasse. Yilmaz et al.⁴⁶ reported that higher total phenolic contents were found
399 in the peel and seeds of the residues when compared to pulp. The polyphenols of grape differ

400 significantly, depending mainly on the cultivar, the vintage, the degree of maturation and the
401 technology applied during the vinification. Corrales et al.⁴⁷ and Centeno et al.⁴⁸ had tested
402 extractions of grape by-products with ultrasound, using water and ethanol as solvents, with
403 results ranging from $0.20 \pm 6.17\text{mg GAE}/100\text{g}$; $0.56 \pm 5.31\text{mg GAE}/100\text{g}$; $1.22 \pm 31.47\text{mg}$
404 GAE/100g and $7.62 \pm 28.66\text{mg GAE}/100\text{g}$ of total phenolics and antioxidant capacity by
405 DPPH respectively. The authors suggest that the application of ultrasound power improves the
406 efficiency and yield of the extraction process, being faster and accelerating over time in a
407 comparison between extractions methods for grape by-products.

408

409 Conclusion

410

411 In summary, this work had demonstrated that *Vitis labrusca* varieties, widely
412 cultivated in southern Brazil, also have a high antioxidant potential, which is associated with
413 the presence of phenolic compounds. On the extraction methods, the microwave, with polar
414 solvents, presented the best results regarding the presence of bioactive compounds.
415 Furthermore, we have shown that the residues of vinification, which are normally discarded as
416 an environmental problem, can be reused.

417

418 Acknowledgments

419

420 The authors thank CAPES, CNPq and FAPERGS for the financial support.

421

422

423

424

425

426

427

428

429

430

431

432

433 REFERENCES

434

435

- 436 1 United Nations Population Division, Department of Economic and Social Affair. World
437 Population Prospects (online - <https://esa.un.org/unpd/wpp/>) (2015).
- 438 2 Food and Agriculture Organization of the United Nations – FAO – (www.fao.org).
- 439 3 Naczk M and Shahidi F, Extraction and analysis of phenolics in food. *Journal of*
440 *Chromatography A* 1054: 95-111 (2004).
- 441 4 Afanasev IB, Dorozhko AI, Brodskii AV, Kostyuk VA, Potapovitch AI, Chelating and
442 free radical scavenging mechanisms of inhibitory action of rutin and quercetin in lipid
443 peroxidation. *Biochemical Pharmacology* 38:1763-1769 (1989).
- 444 5 Blokhina O, Virolainen E and Fagerstedt KV, Antioxidants, oxidative damage and
445 oxygen deprivation stress: A review. *Annals of Botany* 91:179-194 (2003).
- 446 6 Pridham JB, Phenolics in Plants in Health and Disease. Pergamon Press, Beckman
447 *Physiol. Mol. Plant Pathol* 57:2000, p. 101 (1960).
- 448 7 Beckman CH, Phenolic-storing cells: keys to programmed cell death and periderm
449 formation in wilt disease resistance and in general defence responses in plants?
450 *Physiol. Mol. Plant Pathol* 57:101-110 (2000).
- 451 8 Bengoechea ML, Sancho AI, Bartolomé B, Estrella I, Cordovés, CG, Hernández T. H. J.
452 *Agric. Food Chem* 45:4071 (1997).
- 453 9 Ibrahim R, Barron PM, Dey JB, Harborne E, Methods in Plant Biochemistry. Academic
454 Press, pp. 75-111 (1989).
- 455 10 Towers GHN and Harborne JB, Biochemistry of Phenolic Compounds, Academic Press,
456 pp. 249-294 (1964).
- 457 11 Yeo KL, Leo CP, Chan DJC, Ultrasonic Enhancement on Propolis Extraction at Varied
458 pH and Alcohol Content. *Journal of Food Process Engineering*, v. 38, n. 6, p. 562-570
459 (2015).
- 460 12 Zhang HF, Yang XH, Wang Y, Microwave assisted extraction of secondary metabolites
461 from plants: Current status and future directions. *Trends in Food Science and*
462 *Technology*, v. 22, n. 12, p. 672-688 (2011).
- 463 13 International Organization of Vine and Wine – OIV (www.oiv.int).
- 464 14 Oliveira D, Salvador AA, Smânia A, Smânia E, Maraschinc M, Ferreira S, Antimicrobial
465 activity and composition profile of grape (*Vitis vinifera*) pomace extracts obtained by
466 supercritical fluids. *Journal of Biotechnology* 164:423-432 (2013).
- 467 15 Barba DFJ, Zhu Z, Koubaa M, Souza A, Sant A, Vibeke O, Green alternative methods for
468 the extraction of antioxidant bioactive compounds from winery wastes and by-
469 products: A review. *Trends in Food Science & Technology* 49:96-109 (2016).
- 470 16 Mendoza LK, Yañez K, Vivanco M, Melo R, Catoras M. Characterization of extracts
471 from winery by-products with antifungal activity against *Botrytis cinerea*. *Industrial*
472 *Crops and Products* 43:360-364 (2013).
- 473 17 Morelli LLL, Avaliação de compostos fenólicos majoritários em geleia de uva produzida
474 com a variedade IAC-138-22 (máximo). Dissertação de Mestrado, SP, 133 (2010).
- 475 18 Roesler R, Malta LG, Carrasco LC, Holanda RB, Sousa CAS, Pastore GM, Atividade
476 antioxidante de frutas do cerrado. *Ciênc Tecnol Aliment* 27:53-60 (2007).
- 477 19 Yamaguchi T, Takamura H, Matoba TC, Terao J, Free radical scavenging activity of
478 grape seed extract and antioxidants by electron spin resonance spectrometry in an
479 $H_2O_2/NaOH/DMSO$ system. *Bioscience, Biotechnology and Agrochemistry* 62:1201-
480 1204 (1998).

- 481 20 Fontana AR, Antoniolli A and Bottini R, Grape Pomace as a Sustainable Source of
482 Bioactive Compounds: Extraction, Characterization, and Biotechnological
483 Applications of Phenolics. *J. Agric. Food Chem* 61:8987-9003 (2013).
- 484 21 Burin VM, Lima NEF, Panceri CP, Luiz MTB, Bioactive compounds and antioxidant
485 activity of *Vitis vinifera* and *Vitis labrusca* grapes: Evaluation of different extraction
486 methods. *Microchemical Journal* 114:155-163 (2014).
- 487 22 Melo P S, Adna P M, Carina D, Luciana FS, Marcelo F, Giuliano EP, Thais MFSV,
488 Pedro LR, Severino MA, Winery by-products: Extraction optimization, phenolic
489 composition and cytotoxic evaluation to act as a new source of scavenging of reactive
490 oxygen species. *Food Chemistry* 181: 160-169 (2015).
- 491 23 Anastasiadis M, Harris P, Dimitris K, Alexios LS, Serkos AH, Grape stem extracts:
492 Polyphenolic content and assessment of theirin vitroantioxidant properties, *Food
493 Science and Technology* 48:316-322 (2012).
- 494 24 Palma M. and Barroso CG, Ultrasound-assisted extraction and determination of tartaric
495 and malic acids from grapes and winemaking by-products. *Analytica Chimica Acta*
496 458:119-130 (2002).
- 497 25 Torre MPD, Vera CF, Capote FP, Castro MDL. Anthocyanidins, proanthocyanidins, and
498 anthocyanins profiling in wine lees by solid-phase extraction-liquid chromatography
499 coupled to electrospray ionization tandem mass spectrometry with data-dependent
500 methods. *J. Agric. Food Chem* 61:12539-12548 (2013).
- 501 26 Drosou C, Konstantina K, Andreas B, Dimitrios T, Magdalini KA, Comparative study on
502 different extraction techniques to recover redgrape pomace polyphenols from
503 vinification byproducts. *Industrial Crops and Products* 75:141-149 (2015).
- 504 27 Brazinha C, Mafalda C, João G.C, Optimization of Extraction of Bioactive Compounds
505 from Different Types of Grape Pomace Produced at Wineries and Distilleries. *Journal
506 of Food Science* Vol. 79, Nr. 6 (2014).
- 507 28 Spigno G, Tramelli L and Faveri DM, Effects of extraction time, temperature and solvent
508 on concentration and antioxidant activity of grape marc phenolics. *Journal of Food
509 Engineering* 81:200-208 (2007).
- 510 29 Jin Z-M, Bi H-Q, Liang N-N, Duan C-Q. An Extraction Method for Obtaining the
511 Maximum Non-Anthocyanin Phenolics from grape Berry Skins. *Analytical
512 Letters* 43(5): 776-785 (2010).
- 513 30 Ribeiro LF, Ribani RH, Francisco TMG, Soares AA, Pontarolo R, Haminiuk CW I,
514 Profile of bioactive compounds from grape pomace (*Vitis vinifera* and *Vitis labrusca*)
515 by spectrophotometric, chromatographic and spectral analyses. *Journal of
516 Chromatography B* 1007: 72-80 (2015).
- 517 31 Careri M, Claudio C, Lisa E, Isabella N, Ingrid Z, Direct HPLC Analysis of Quercetin
518 and trans-Resveratrol in Red Wine, Grape, and Winemaking Byproducts, *J. Agric.
519 Food Chem* 51:5226-5231 (2003).
- 520 32 Yilmaz Y and Romeot T, Major Flavonoids in Grape Seeds and Skins: Antioxidant
521 Capacity of Catechin, Epicatechin, and Gallic Acid. *J. Agric. Food Chem* 52:255-260
522 255 (2004).
- 523 33 Nugroho A, Heryani H, Choi JS and Park H, Identification and quantification of
524 flavonoids in *Carica papaya* leaf and peroxynitrite-scavenging activity. *Journal of
525 Tropical Biomedicine* 7:208-213 (2016).
- 526 34 Rufatto LC, Finimundy TC, Roesch ME and Moura S, *Mikania laevigata*: Chemical
527 characterization and selective cytotoxic activity of extracts on tumor cell lines,
528 *Phytomedicine* 20:883-889 (2013).

- 529 35 Nicola C, Salvador M, Gower AE, Moura S, Echeverrigaray S Chemical Constituents
530 Antioxidant and Anticholinesterasic Activity of *Tabernaemontana catharinensis* The
531 Scientific World Journal 519858 (2013).
- 532 36 Bristow AWT and Webb KS, Intercomparison Study on Accurate Mass Measurement of
533 Small Molecules in Mass Spectrometry. J Am Soc Mass Spectrom 14:1086-1098
534 (2003).
- 535 37 Knolhoff AM, Callahan JH, Croley TR, Mass Accuracy and Isotopic Abundance
536 Measurements for HR-MS Instrumentation: Capabilities for Non-Targeted Analyses.
537 J. Am. Soc. Mass Spectrom 25:1285-1294 (2014).
- 538 38 Sasaki K, Takase H, Kobayashi H, Matsuo H, Takata R, Molecular cloning and
539 characterization of UDP-glucose: furaneol glucosyl transferase gene from grape vine
540 cultivar Muscat Bailey A (*Vitis labrusca* × *V. vinifera*). Journal of Experimental
541 Botany 66:6167-6174 (2015).
- 542 39 Silva RM, Campanholo VMLP, Paiotti APR, Artigiani Neto R, Oshima CTF, Ribeiro
543 DA, Forones NM Chemopreventive activity of grape juice concentrate (G8000TM) on
544 rat colon carcinogenesis induced by azoxymethane Environmental Toxicology and
545 Pharmacology 40(3): 870-875 (2015).
- 546 40 Koyama K, Kamigakiuchi H, Iwashita K, Mochioka R, Phytochemistry Polyphenolic
547 diversity and characterization in the red e purple berries of East Asian wild *Vitis*
548 species. Phytochemistry 1-9 (2016).
- 549 41 Kurt A, Torun H, Colak N, Seiler G, Ahmet F. Nutrient profiles of the hybrid grape
550 cultivar “Isabel” during berry maturation and ripening. Journal of the Science of Food
551 and Agriculture (2016).
- 552 42 Casas MA, Marta P, Marta L, Carmen GJ. Characterization of grape marcs from native
553 and foreign white varieties grown in northwestern Spain by their polyphenolic
554 composition and antioxidant activity. Eur Food Res Technol DOI 10.1007/s00217-
555 015-2573-0 (2015).
- 556 43 Lomillo JG, Luisa MGS, Raquel DPG, Dolores M. DRP, Pilar MR, Antioxidant and
557 Antimicrobial Properties of Wine Byproducts and Their Potential Uses in the Food
558 Industry. J. Agric. Food Chem 62:12595-12602 (2014).
- 559 44 Kabir F, Mosammad SS and Kurnianta H, Polyphenolic Contents and Antioxidant
560 Activities of Underutilized Grape (*Vitis vinifera*) Pomace Extracts. Prev. Nutr. Food
561 Sci 20:210-214 (2015).
- 562 45 Rajha HN, Nada ED, Eugène V, Nicolas L, Richard G. M, An Environment Friendly,
563 Low-Cost Extraction Process of Phenolic Compounds from Grape Byproducts.
564 Optimization by Multi-Response Surface Methodology. Food and Nutrition Sciences
565 4:650-659 (2013).
- 566 46 Yilmaz Y, Zekiye G, Erdogan SS, Aysun Ö, Arif A, Cengiz Ö, Antioxidant activity and
567 phenolic content of seed, skin and pulp parts of 22 grape (*Vitis Viniferal*) culrivars (4
568 common and 18 registered or candidate for registration). Journal of Food Processing
569 and Preservation 39:1682-1691 (2015).
- 570 47 Corrales M, Toepfl S, Butz P, Knorr D, Tauscher B, Extraction of anthocyanins from
571 grape by-products assisted by ultrasonics, high hydrostatic pressure or pulsed electric
572 fields: A comparison, Innovative. Food Science and Emerging Technologies 9:85-91
573 (2008).
- 574 48 Centeno MRG, Serra FC, Femenia A, Rosselló C, Sima S, Effect of power ultrasound
575 application on aqueous extraction of phenolic compounds and antioxidant capacity
576 from grape pomace (*Vitis viniferaL*): Experimental kinetics and modeling. Ultrasonics
577 Sonochemistry 22:506-514 (2015).
- 578

579 **Figure Legends**

580

581

582 Fig. 1 Chromatogram obtained by HPLC-UVVis for the twelve standards tested.

583

584 Fig. 2 Spectrum of HRMS for ultrasound extract carried-out with hexane in ESI(-) mode.

585

586 Fig. 3 The chemical structure of compounds identified in extracts of grape juice by-products
587 by HRMS.

588

589

590

591

592

593

594

595

596

597

598

599

600

601

602

603

604

605

606

607

608

609

610

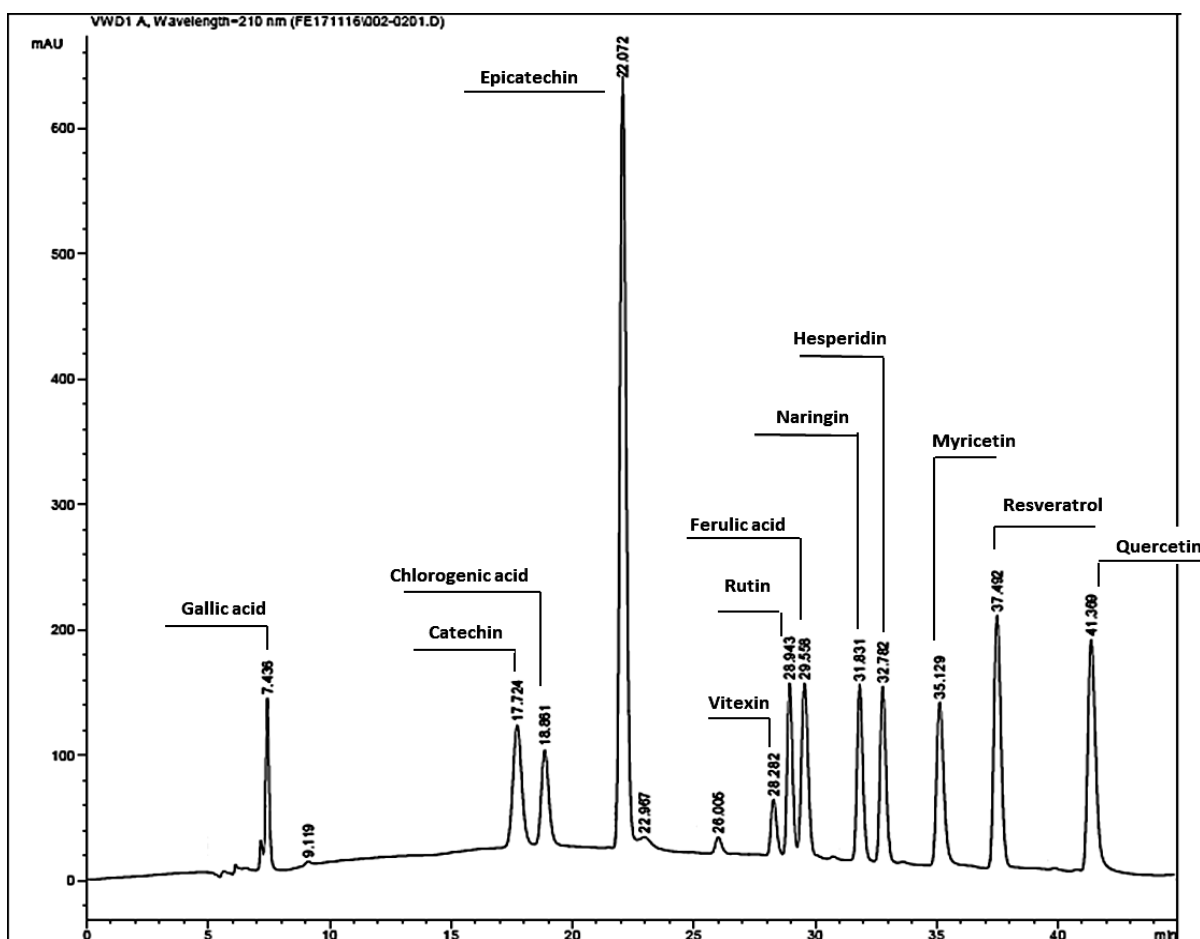
611

612

613 Fig. 1

614

615



616

617

618

619

620

621

622

623

624

625

626

627

628

629 Fig. 2

630

631

632

633

634

635

636

637

638

639

640

641

642

643

644

645

646

647

648

649

650

651

652

653

654

655

656

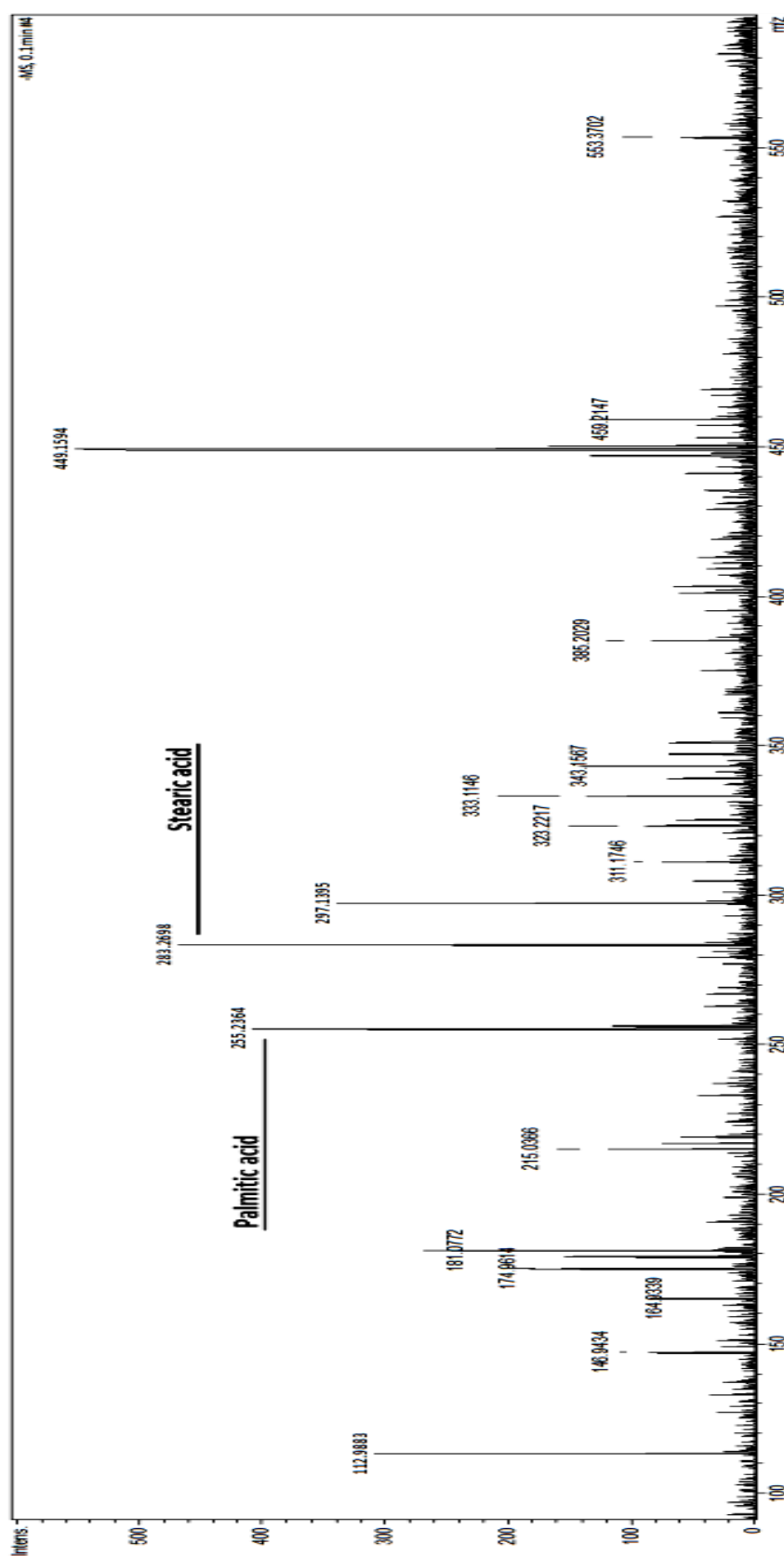
657

658

659

660

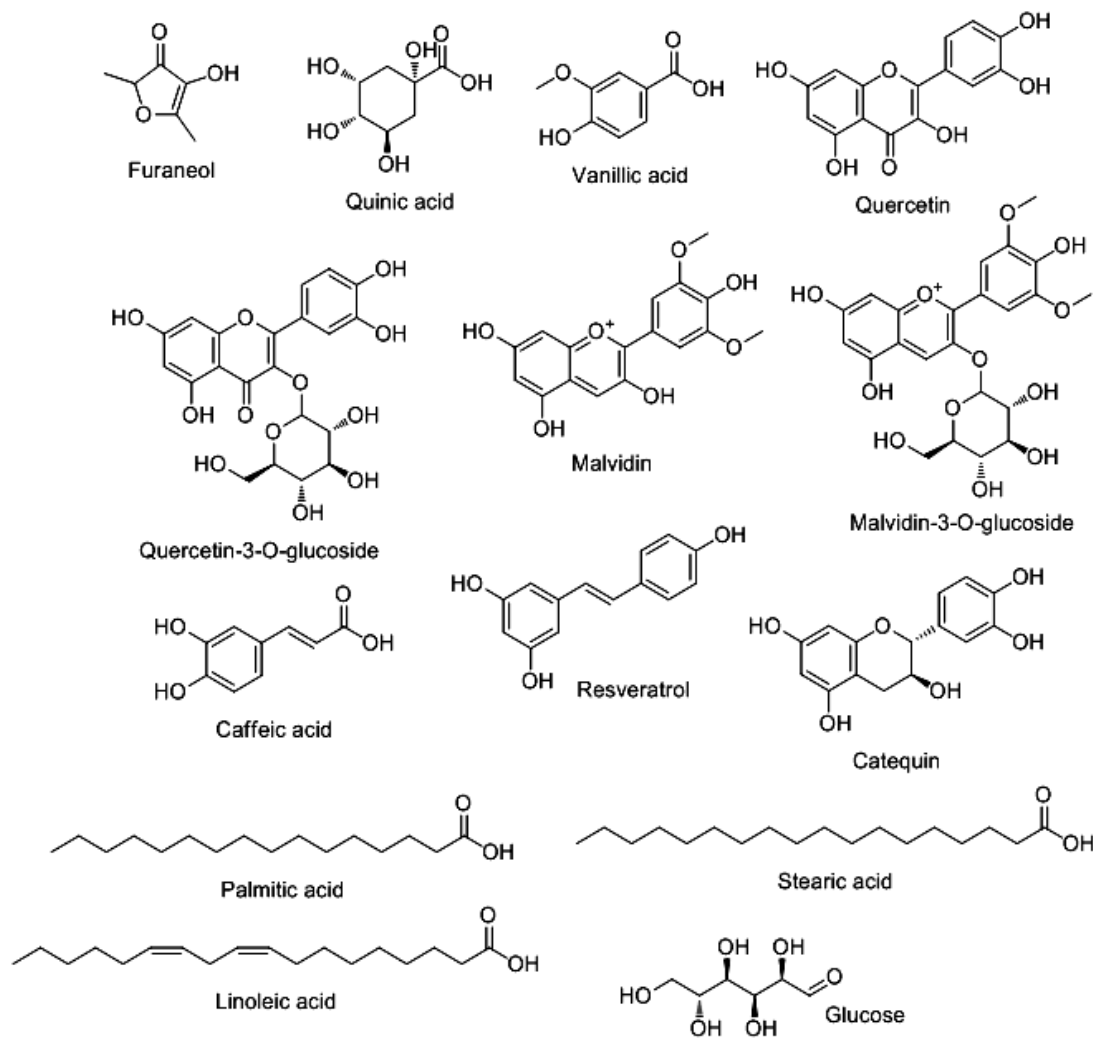
661



662 Fig. 3

663

664



665

666

667

668

669

670

671

672

673

674

675

676

677 **Tables**

678

679

680 Table **1** Yields (%) related to the methods of extracting of winery by-products.

681

682 Table **2** Parameters of the HPLC-UVis method for the evaluated compounds.

683

684 Table **3** Polyphenolic composition of extracts studied (mg/Kg).

685

686 Table **4** Polyphenolic composition of fractions studied ($\mu\text{g}/\text{mL}$).

687

688 Table **5** Chemical compounds identified in *V. labrusca* extracts by high resolution mass
689 spectrometry, in positive and negative mode.

690

691 Table **6** The crude extracts antioxidant capacity determinated by DPPH \cdot method.

692

693 Table **7** Content (%) of total phenolic compounds mg GAE/100g gallic acid.

694

695

696

697

698

699

700

701

702

703

704

705

706

707

708

709

710

711 Table 1

712

713

Method/Solvents	Hexane	Chloroform	Ethyl acetate	Ethanol	Water
Liquid-liquid	0.64 ± 0.02%	0.15 ± 0.03%	0.21 ± 0.01%	0.47 ± 0.05%	0.44 ± 0.02%
Ultrasound	0.23 ± 0.05%	0.15 ± 0.03%	0.24 ± 0.02%	1.03 ± 0.01%	0.65 ± 0.05%
Microwave	4.15 ± 0.04%	4.68 ± 0.01%	0.45 ± 0.02%	2.06 ± 0.03%	3.12 ± 0.04%
Data are expressed as mean ± standard deviation (n=3)					

714

715

716

717

718

719

720

721

722

723

724

725

726

727

728

729

730

731

732

733

734

735 Table 2

736

737

Standarts	R ²	Line equation	LOD ($\mu\text{g/mL}$)	LOQ ($\mu\text{g/mL}$)
Chlorogenic acid	0.9932	y = 12.14x - 16.49	0.15	0.50
Ferulic acid	0.9990	y = 113.61x - 11.98	0.03	0.11
Gallic acid	0.9999	y = 69.95x + 0.66	0.03	0.10
Catechin	0.9982	y = 179.43x - 30.56	0.02	0.06
Epicatequina	0.9995	y = 123.22x - 54.57	0.04	0.09
Hesperidin	0.9993	y = 40.76x + 4.50	0.02	0.08
Myricetin	0.9972	y = 105.82x - 64.59	0.05	0.18
Naringin	0.9926	y = 55.59x + 45.30	0.03	0.09
Quercetin	0.9999	y = 64.11x - 0.68	0.04	0.12
Resveratrol	0.9999	y = 63.76x + 0.27	0.03	0.10
Rutin	0.9996	y = 29.71x + 1.19	0.04	0.12
Vitixin	0.9972	y = 38.89x + 1.62	0.06	0.19

738

739

740

741

742

743

744

745

746

747

748

749

750

751

752

753

754

755

756 Table 3

757

758

Entry/Solvent	Hexane	Chloroform	Ethyl acetate	Ethanol	Water
Liquid-Liquid					
Catechin	Nd	Nd	Nd	Nd	Nd
Resveratrol	Nd	Nd	Nd	0.94 ± 0.06 ^{Ab}	Nd
Hesperidin	Nd	Nd	Nd	0.59 ± 0.07 ^{Ab}	Nd
Gallic acid	2.03 ± 0.04 ^{Bb}	0.04 ± 0.001 ^{Cb}	0.04 ± 0.001 ^{Cb}	3.25 ± 0.13 ^{Ac}	1.94 ± 0.03 ^{Bc}
Epicatechin	Nd	Nd	Nd	Nd	Nd
Naringin	1.72 ± 0.06 ^{Ab}	0.01 ± 0.002 ^{Ca}	0.02 ± 0.001 ^{Cb}	0.28 ± 0.07 ^{Bb}	0.31 ± 0.04 ^{Bb}
Ultrasound					
Catechin	Nd	Nd	Nd	Nd	Nd
Resveratrol	Nd	Nd	Nd	Nd	Nd
Hesperidin	Nd	0.02 ± 0.002 ^{Ca}	0.16 ± 0.01 ^{Bb}	0.50 ± 0.06 ^{Ab}	Nd
Gallic acid	0.08 ± 0.003 ^{Dc}	0.08 ± 0.003 ^{Db}	0.23 ± 0.002 ^{Cb}	4.10 ± 0.03 ^{Bb}	5.01 ± 0.12 ^{Ab}
Epicatechin	Nd	Nd	0.06 ± 0.002 ^{Ab}	Nd	Nd
Naringin	0.04 ± 0.003 ^{Bc}	0.02 ± 0.003 ^{Ba}	0.04 ± 0.003 ^{Bb}	0.50 ± 0.08 ^{Ab}	0.45 ± 0.08 ^{Ab}
Microwave					
Catechin	Nd	Nd	1.40 ± 0.04 ^{Aa}	Nd	Nd
Resveratrol	Nd	Nd	1.17 ± 0.05 ^{Ba}	7.59 ± 0.49 ^{Aa}	Nd
Hesperidin	Nd	Nd	0.62 ± 0.09 ^{Ba}	3.16 ± 0.23 ^{Aa}	Nd
Gallic acid	15.41 ± 0.48 ^{Da}	16.44 ± 0.39 ^{Ca}	1.74 ± 0.04 ^{Ea}	33.87 ± 0.37 ^{Aa}	24.98 ± 0.29 ^{Ba}
Epicatechin	Nd	12.29 ± 0.16 ^{Aa}	1.14 ± 0.04 ^{Ca}	5.24 ± 0.25 ^{Ba}	Nd
Naringin	5.55 ± 0.64 ^{Aa}	Nd	0.27 ± 0.05 ^{Da}	1.37 ± 0.31 ^{Ca}	3.41 ± 0.55 ^{Ba}

759

760

761 Averages followed by the same letter do not differ significantly from each other by the Tukey test at 0.05%.

762 Lowercase letters correspond to the columns between the same compound and uppercase to the rows.

763

764

765

766

767

768

769

770 Table 4

771

772

Entry/Fraction	F1	F2	F3	F4	F5	F6
Catechin	Nd	Nd	Nd	Nd	Nd	Nd
Resveratrol	Nd	Nd	Nd	Nd	1.38 ± 0.06 ^c	1.50 ± 0.09 ^c
Gallic acid	1.35 ± 0.07 ^h	1.46 ± 0.06 ^b	1.76 ± 0.07 ^g	2.65 ± 0.03 ^e	2.95 ± 0.02 ^d	3.04 ± 0.05 ^b
	F7	F8	F9	F10	F11	F12
Catechin	Nd	Nd	1.69 ± 0.07 ^a	0.48 ± 0.02 ^b	Nd	Nd
Resveratrol	5.89 ± 0.14 ^a	1.68 ± 0.03 ^b	1.18 ± 0.07 ^d	Nd	Nd	Nd
Gallic acid	3.24 ± 0.04 ^{bc}	3.78 ± 0.06 ^a	2.54 ± 0.05 ^e	2.60 ± 0.05 ^e	2.18 ± 0.11 ^f	3.07 ± 0.06 ^{cd}

773

774

775 Averages followed by the same letter do not differ significantly from each other by the Tukey test at 0.05%.

776

777

778

779

780

781

782

783

784

785

786

787

788

789

790

791

792

793 Table 5

794

795

Entry	Precursor ion m/z	Extract	Method	Identification	Elem. Comp.	Diff. ppm	Ref.
Analysis in ESI(+): Hexane (A); Chloroform (B); Ethyl acetate (C); Ethanol (D); Water (E); Ultrasound (1); Microwave (2); Column (3); Liquid-liquid (4).							
1	129.0546	A-E	1-4	Furaneol	C ₆ H ₈ O ₃	4.41	Sasaki et al. ³⁸
2	169.0496	A-E	1;2;4	Vanillic acid	C ₈ H ₈ O ₄	2.86	Ribeiro et al. ³⁰
3	193.0725	E	4	Quinic acid	C ₇ H ₁₂ O ₆	5.06	Silva et al. ³⁹
4	181.0496	D-E	1;2;4	Caffeic acid	C ₉ H ₈ O ₄	2.67	Ribeiro et al. ³⁰
5	229.0885	B	1	Resveratrol	C ₁₄ H ₁₂ O ₃	4.86	Koyama et al. ⁴⁰
6	291.0855	D-E	1;4	Catechin/Epicatechin	C ₁₅ H ₁₄ O ₆	4.68	Ribeiro et al. ³⁰
7	303.0506	C-D	1;2	Quercetin	C ₁₅ H ₁₀ O ₇	0.40	Ribeiro et al. ³⁰
8	331.0810	E	1	Malvidin	C ₁₇ H ₁₅ O ₇	2.35	Koyama et al. ⁴⁰
9	465.1008	C-D	1	Quercetin-3-O -glucoside	C ₂₁ H ₂₀ O ₁₂	5.38	Koyama et al. ⁴⁰
10	493.1360	D-E	1;2	Malvidin-3-O -glucoside	C ₂₃ H ₂₅ O ₁₂	2.84	Koyama et al. ⁴⁰
Extracts analysis in negative mode ESI(-): Hexane (A); Chloroform (B); Ethyl acetate (C); Water (E); Ultrasound (1); Microwave (2); Column (3); Liquid-liquid (4).							
11	179.0558	A:D-E	1-4	Glucose	C ₆ H ₁₂ O ₆	1.32	Kurt et al. ⁴¹
11	255.2364	A-E	1-3	Palmitic acid	C ₁₆ H ₃₂ O ₂	4.41	Ribeiro et al. ³⁰
13	279.2340	C-D	1-3	Linoleic acid	C ₁₈ H ₃₂ O ₂	5.71	Ribeiro et al. ³⁰
12	283.2698	A-C	1-4	Stearic acid	C ₁₈ H ₃₆ O ₂	4.22	Ribeiro et al. ³⁰

796

797

798

799

800

801

802

803

804

805

806

807 Table 6

808

809

Solvents	Liquid-Liquid	Ultrasound	Microwave
Hexane	$14.87 \pm 7.01^{\text{Ab}}$	$16.59 \pm 5.79^{\text{Ab}}$	$20.26 \pm 1.22^{\text{Aa}}$
Chloroform	$19.61 \pm 7.01^{\text{Ab}}$	$17.03 \pm 0.30^{\text{Ab}}$	$17.89 \pm 2.74^{\text{Ab}}$
Ethyl acetate	$33.62 \pm 0.61^{\text{Ba}}$	$74.22 \pm 2.07^{\text{Aa}}$	$31.03 \pm 6.71^{\text{Ba}}$
Ethanol	$29.53 \pm 3.96^{\text{Ab}}$	$31.47 \pm 1.22^{\text{Ab}}$	$36.64 \pm 2.44^{\text{Aa}}$
Water	$14.22 \pm 3.05^{\text{Bb}}$	$28.66 \pm 7.62^{\text{Ab}}$	$27.59 \pm 1.22^{\text{Aa}}$

810

811

812 Averages followed by the same letter do not differ significantly from each other by the Tukey test at 0.05%.

813 Capital letters represent statistical differences between extraction methods, lowercase letters represent significant
814 differences between solvents.

815

816

817

818

819

820

821

822

823

824

825

826

827

828

829

830

831

832

833 Table 7

834

835

Solvents	Liquid-Liquid	Ultrasound	Microwave
Hexane	$3.58 \pm 0.25^{\text{Bb}}$	$0.05 \pm 0.002^{\text{Cb}}$	$31.76 \pm 0.66^{\text{Ca}}$
Chloroform	$0.09 \pm 0.005^{\text{Db}}$	$0.07 \pm 0.007^{\text{Cb}}$	$107.03 \pm 6.02^{\text{Aa}}$
Ethyl acetate	$0.15 \pm 0.003^{\text{Cb}}$	$0.92 \pm 0.006^{\text{Bb}}$	$13.18 \pm 0.04^{\text{Ea}}$
Ethanol	$12.75 \pm 0.39^{\text{Ab}}$	$6.17 \pm 0.20^{\text{Ac}}$	$73.33 \pm 2.45^{\text{Ba}}$
Water	$10.23 \pm 0.63^{\text{Ab}}$	$5.31 \pm 0.56^{\text{Ac}}$	$26.15 \pm 1.29^{\text{Dd}}$

836

837

838 Averages followed by the same letter do not differ significantly from each other by the Tukey test at 0.05%.

839 Capital letters represent statistical differences between extraction methods, lowercase letters represent significant
840 differences between solvents.

841

842

843

844

845

846

847

848

849

850

851

852

853

854

855

856

5 DISCUSSÃO GERAL

Nas últimas décadas ocorreu um grande crescimento demográfico, e com isso surgiu a necessidade da expansão industrial para atender a demanda por alimentos e medicamentos. Dentro desse contexto há uma preocupação com o excesso de resíduos industriais descartados no meio ambiente. Entre estes segmentos destaca-se o setor vitivinícola, que está entre as indústrias que mais produzem resíduos orgânicos. Portanto existe uma necessidade no desenvolvimento de novas alternativas capazes de transformar estes co-produtos em produtos úteis. Esta biomassa residual apresenta compostos valiosos devido às suas características estruturais, tais como os flavonoides (antocianinas, catequinas, flavonóis), glicosídeos, álcoois, ácidos fenólicos, estilbenos (KAMMERER et al., 2005). Dessa forma, a recuperação destes compostos em extratos, ou frações enriquecidas, podem ter aplicações úteis. Para isso é necessário o aprimoramento dos métodos de extração e purificação, sendo este o principal objetivo deste projeto.

Assim sendo, os resíduos de vinificação foram previamente isolados e submetidos a extrações assistidas por diferentes formas de energia (ultrassom e micro-ondas) e com utilização de solventes de polaridades diferentes (hexano, clorofórmio, acetato de etila, etanol e água). Além disso, um processo de prévio isolamento através de coluna aberta com sílica foi testado. A composição química foi avaliada por Cromatografia Líquida de Alta Eficiência com detector UV-Vis (CLAE-UV), Espectrometria de Massas de Alta Resolução (EMAR). A quantidade de fenólicos totais foi avaliada bem como a capacidade antioxidante através dos métodos de Folin-Ciocalteau e DPPH respectivamente.

A extração é um passo importante na recuperação, isolamento e identificação de compostos. A variação e intensidade de energia, polaridade dos solventes, pH dos sistemas, entre outras características, são essenciais para o isolamento de um composto ou grupo a partir de misturas complexas.

O método conhecido como líquido-líquido, onde é possível fazer variações de solventes, pH, entre outros parâmetros, é a forma mais utilizada para extração de compostos. Por conta das facilidades de operação e a não necessidade de equipamentos especiais, esta tem sido a técnica mais utilizada para a produção de extratos de produtos naturais (MENDOZA et al., 2013).

Em outro caminho, a extração assistida por ultrassom tem sido implementada para melhorar a eficiência da extração de fenólicos, açúcares e minerais. Isto ocorre porque a energia facilita o rompimento das células liberando os metabolitos secundários. Sendo assim,

o processo de extração é normalmente mais rápido, com baixo consumo de solvente, é mais reproduzível, sendo possível controlar e fazer gradiente de potência. O fenômeno responsável pelo processo de extração é chamado de cavitação (BARBA et al., 2016).

Da mesma forma, a extração assistida por micro-ondas destaca vantagens como: viabilidade no uso do processo em escala industrial, apresenta aquecimento mais homogêneo e rápido sendo possível fazer gradientes térmicos. Este método tem sido utilizado para a extração de compostos orgânicos em geral, principalmente aromáticos.

De acordo com os objetivos, comparou-se as técnicas de extração: (i) Líquido-Líquido; (ii) Assistida por ultrasom; e (iii) Assistida por micro-ondas, com variações de solventes para resíduo de vinificação. Assim, as extrações com ultrassom e líquido-líquido obtiveram rendimentos semelhantes às realizadas em solventes polares como etanol ($0,05 \pm 0,47\%$ e $0,01 \pm 1,03\%$) e água ($0,02 \pm 0,44\%$ e $0,05 \pm 0,65\%$) e apolares hexano ($0,02 \pm 0,64\%$ e $0,05 \pm 0,23\%$). Enquanto isso, com a utilização de micro-ondas o maior rendimento foi obtido com clorofórmio ($0,01 \pm 4,68\%$).

Para a qualificação e quantificação dos componentes dos extratos e frações utilizou-se CLAE-UV, EMAR e a determinação de fenólicos totais via técnica de Folin-Ciocalteau. Na primeira foi utilizado um método já otimizado para a determinação de flavanoides, o qual é baseado em trabalho de Morelli (2010), onde são analisados 12 padrões simultaneamente (ácido gálico, catequina, ácido clorogênico, epicatequina, rutina, ácido ferúlico, naringina, hesperidina, miricetina, resveratrol, queracetina e vitexina). Destes 12 avaliados, foram identificados 6 nos extratos, catequina, resveratrol, hesperidina, ácido galico, epicatequina.

Os compostos ácido gálico e naringina foram identificados em todas as extrações (micro-ondas, ultrassom e líquido-líquido) e solventes (hexano, clorofórmio, acetato de etila, etanol e água), apresentando maiores valores na extração micro-ondas: entre $0,37 \pm 33,87\text{mg/Kg}$ ácido gálico e $0,64 \pm 5,55\text{mg/Kg}$ naringina. Ainda, na extração assistida por micro-ondas o resveratrol foi prevalente nos solventes etanol e acetato de etila variando entre 1,17 a 7,59mg/Kg. Da mesma forma destacou-se que este último processo foi o que mais extraiu compostos fenólicos.

Com a finalidade de obtenção de extratos enriquecidos em compostos fenólicos, os resíduos de vinificação foram fracionados com auxílio de coluna aberta utilizando sílica como fase estacionária e solventes de polaridades diferentes (clorofórmio, acetato de etila e metanol). Este é o mesmo método adotado por Nugroho et al. (2016) para o isolamento e obtenção de compostos fenólicos de folhas da espécie *Carica papaya*.

A partir do resíduo fresco foram obtidas 255 frações, as quais foram analisadas por cromatografia de camada delgada, sendo visualizadas sob luz UV a 254 e 365nm, e também coradas com spray de ácido sulfúrico-vanilina e aquecimento adicional. Assim, elas foram unidas por similaridade em 12 diferentes frações. Após, estas frações foram avaliadas por CLAE-UV sendo determinada a presença de 3 compostos (catequina, resveratrol e ácido gálico) em diferentes concentrações. Enquanto todas as frações apresentaram ácido gálico na sua constituição em concentrações variando entre $0,07^h \pm 1,35$ a $0,06^a \pm 3,78$ mg/Kg, o resveratrol ($0,07^d \pm 1,18$ a $0,14^a \pm 5,89$ mg/Kg) foi identificado nas frações obtidas com clorofórmio e acetato de etila. Dessa forma foi possível avaliar que este método pode ser utilizado para enriquecimento de frações em determinados compostos como, por exemplo, resveratrol.

Com a intenção de uma qualificação mais ampla da composição química, os extratos e frações foram avaliados também por EMAR como ionização por electrospray (ESI). Esta técnica tem sido amplamente utilizada para identificação de compostos fenólicos em misturas complexas, como são os extratos de plantas, por exemplo, fenólicos (RUFATTO et al., 2013) e alcaloides (NICOLA et al., 2013) em mistura complexa como extratos. Aqui identificou-se 14 compostos, em ambos os modos ESI(+) e ESI(-) como: furaneol, ácido quinico, ácido vanilico, ácido cafeico, resveratrol, catequina, malvidina, queracetina-3-O-glucosideo, malvidina-3-O-glucosideo, glucose, ácido palmítico, ácido linoleico, ácido esteárico. Destaca-se que a extração assistida por ultrassom apresentou 13 destes 14 compostos, com destaque para os compostos glicosilados (queracetina-3-O-glucosideo). Estes compostos são conhecidos como inibidores de enzimas como fosfolipases A2 e C, tirosina quinases, lipoxigenases, entre outras, sendo responsáveis por atividades anti-inflamatória, anti-histamínica e até citotóxica (WOLFFRAM et al., 2002).

Neste estudo, a análise de compostos fenólicos totais foi realizada através do método desenvolvido por Folin-Ciocalteau. Roesler et al. (2007) faz uma comparação direta do extrato com um padrão (ácido gálico) utilizando um espectrofotômetro. O teste estatístico ANOVA foi aplicado nos resultados para verificar diferenças significativas nas amostras. Os resultados obtidos na extração por ultrassom foram inferiores aos obtidos nas extrações micro-ondas e líquido-líquido, com variação entre ($0,002^{Cb} \pm 0,05$ a $0,20^{Ac} \pm 6,17$ mg GAE/100g). No entanto, a extração micro-ondas apresentou melhores resultados, entre $0,04 \pm 13,18$ a $6,02 \pm 107,03$ mg GAE/100g. Ao se comparar os métodos de extração, obteve-se o conteúdo de compostos fenólicos totais que foram de $0,002 \pm 0,05$ mg/GAE/100g a $6,02 \pm 107,03$ mg/GAE/100g. Casas e col. (2015) e Corrales e col. (2008) utilizaram este método para

análise de fenólicos totais em extratos de resíduos de vinificação. Seus resultados foram similares (entre $0,20 \pm 6,17$ a $1,22 \pm 31,47$) aos obtidos aqui, confirmado que estes subprodutos são ricos em compostos fenólicos. Ainda, a avaliação de compostos fenólicos totais demonstra que existe uma variação expressiva entre os extratos.

Como exemplo, o extrato com solvente clorofórmio, na extração micro-ondas, apresentou alta quantidade de compostos fenólicos $6,02 \pm 107,03\text{mg GAE}/100\text{g}$, mas poucos compostos no CLAE-UV entre $0,16 \pm 12,29$ a $0,39 \pm 16,44\text{mg/Kg}$.

Muitos destes compostos podem estar em baixas concentrações e serem mascarados quando presentes em extratos totais. Neste sentido, a extrações e frações podem auxiliar na atividade isolada de cada composto, ou de compostos enriquecidos em amostras.

Neste trabalho optou-se pelo método DPPH[•], a qual é uma técnica espectrofotométrica que consiste em medir a diminuição da absorvência a 517nm do radical DPPH[•], provocada pela presença de antioxidantes. Os extratos obtidos com ultrassom foram os que apresentaram maior percentual de inibição radical DPPH[•] ($2,07 \pm 74,22\%$ para acetato de etila). Enquanto isso, os obtidos com micro-ondas apresentaram o percentual de inibição de $2,44 \pm 36,64\%$, utilizando etanol como solvente. Destaca-se ainda que para a extração líquido-líquido o maior percentual em $0,61 \pm 33,62\%$ de inibição do DPPH[•] foi obtida pelo extrato em acetato de etila. Desta forma, demonstra-se que os extratos obtidos a partir de resíduos de vinificação apresentam boa capacidade de sequestro de radicais livres, conclusões semelhantes às obtidas por outros autores como Kabir e col. (2015) em que seus extratos mostraram um percentual de varredura em torno de 60 e 70%; e para Rajha et al. (2013), o percentual do radical DPPH[•] foi de 11% a 35% para extratos obtidos a partir de resíduos de vinificação com os solventes etanol e água, utilizando a mesma técnica de análise.

6 CONCLUSÕES

Os dados obtidos com esse estudo permitem concluir que:

- Resíduos de suco de uva são ricos em compostos fenólicos, principalmente flavonoides;
- Sobre os métodos de extração a partir de subprodutos de uva conclui-se que o método por micro-ondas, usando solventes polares como etanol e água, apresentou o melhor rendimento;

Tirar a frase

- A composição química pode ser determinada pela soma das técnicas: CLAE-UV, EMAR e compostos fenólicos totais;
- Portanto, este trabalho demonstrou que é possível uma utilização mais nobre de resíduos de vinificação, os quais normalmente são descartados no meio ambiente. De acordo com os métodos de extração e solventes é possível determinar frações enriquecidas em diferentes compostos.

7 PERSPECTIVAS FUTURAS

Como continuidade deste trabalho seria importante:

- Testar novos métodos de extração como sólido-líquido e fluído subcrítico e outras formas de isolamento de compostos químicos.
- Avaliar os compostos químicos identificados quanto a suas propriedades in vivo e in vitro.
- Aplicar os extratos enriquecidos em compostos fenólicos como aditivos em alimentos e cosméticos.

REFERÊNCIAS

- AKSOYLU, Zeynep; ÇAGINDI, Özlem; KÖSE, Ergun. Effects of blueberry, grape seed powder and poppy seed incorporation on physicochemical and sensory properties of biscuit. **Journal of Food Quality**, 38, 164-174, 2015.
- ALCAIDE, Eduarda Molina; MOUMEN, Abdelmajid; GARCIA, Ignacio Martín. By-products from viticulture and the wine industry: potential as sources of nutrients for ruminants. **Journal of the Science of Food and Agriculture**, 88, 597-604, 2008.
- ANASTASIADIA, Maria; PRATSINIS, Harris; KLETSAS, Dimitris; SKALTOSOUNIS, Alexios-Leandros; HAROUTOUNIAN, Serkos A. Grape stem extracts: Polyphenolic content and assessment of theirin vitroantioxidant properties.. **Food Science and Technology**, 48, 316-322, 2012.
- ANGELO, Priscila Milene; JORGE, Neuza. Phenolic compounds in foods. **Revista do Instituto Adolfo Lutz**, 66(1), 1-9, 2006.
- AZMIR, J.; ZAIDUL, I. S. M.; RAHMAN, M. M. et al. Techniques for extraction of bioactive compounds from plant materials: A review. **Journal of Food Engineering**, v. 117, 4, 426-436, 2013.
- AWAN, A. R.; SHAW, W. M.; ELLIS, T. Biosynthesis of therapeutic natural products using synthetic biology. **Advanced Drug Delivery Reviews**, v. 105, 2016. Elsevier B.V.
- BAKER, J. T.; BORRIS, R. P.; CARTÉ, B. et al. Natural product drug discovery and development: new perspectives on international collaboration. **Journal of natural products**, v. 58, 9, 1325-1357, 1995.
- BALUNAS, M. J.; KINGHORN, A. D. Drug discovery from medicinal plants. **Life Sciences**, v. 78, 5, 431-441, 2005.
- BARBA, Francisco J.; ZHU, Zhenzhou; KOUBA, Mohamed; SANT'ANA, Anderson de Souza; ORLIEN, Vibeke. Green alternative methods for the extraction of antioxidant bioactive 1 compounds from winery wastes and by-products: A review, **Trends in Food Science & Technology**, 2016.
- BARROS, Ana; VILAPLANA, Amadeo Gironés; TEIXEIRA, Ana. et al. Evaluation of grape (*Vitis vinifera* L.) stems from Portuguese varieties as a resource of (poly)phenolic compounds: A comparative study. **Food Research International**, 0963-9969, 2014.
- BERTRAN, E.; SORT, X.; SOLIVA, M.; TRILLAS, I. Composting winery waste: sludges and grape stalks. **Bioresource Technology**, 95, 203-208, 2004.
- BIANCHI, Maria de Lourdes Pires; ANTUNES, Lusânia Maria Greggi. Radicais livres e os principais antioxidantes da dieta. **Revista de Nutrição**, vol. 12, Universidade de São Paulo, 1999.

BIESAGA, M. Influence of extraction methods on stability of flavonoids. **Journal of Chromatography A**, v. 1218, 18, 2505-2512, 2011.

BORDIGA, Matteo; TRAVAGLIA, Fabiano; LOCATELLI, Monica. et al. Spent grape pomace as a still potential by-product. **International Journal of Food Science and Technology**, 50, 2022-2031, 2015.

BOUDET, A. M. Evolution and current status of research in phenolic compounds. **Phytochemistry**, v. 68, 22-24, 2722-2735, 2007.

BOTTI, Silvia Cândida Corrêa Fernandes. **Extração e caracterização do resveratrol do bagaço de uva, análise comparativa entre métodos de secagem e comprovação da atividade biológica in vitro**. Centro Estadual de Educação Tecnologica Paula Souza, São Paulo, 2016.

CAMARGO, Umberto Almeida. Progressos na Viticultura Brasileira. **Revista Brasileira de Fruticultura**, Jaboticabal, SP, Volume Especial, E. 144-149, 2011.

CAMPOS, Luanda Maria Abreu Silva de. **Obtenção de extratos de bagaço de uva Cabernet Sauvingnon (Vitis vinifera)**: parâmetros de processo e modelagem matemática. Universidade Federal de Santa Catarina, 2005.

CANALS, R.; LLAUDY, M. C.; VALLS, J.; CANALS, J. M.; ZAMORA, F. Influence of ethanol concentration on the extraction of color and phenolic compounds from the skin and seeds of tempranillo grapes at different stages of ripening. **Journal of Agricultural and Food Chemistry**, v. 53, 10, 4019-4025, 2005.

CARDONA, Jorge A.; LEE, Joon-Hee; TALCOTT, Stephen T. Color and Polyphenolic Stability in Extracts Produced from Muscadine Grape (*Vitis rotundifolia*) Pomace. **Journal of Agricultural and Food Chemistry**, 57, 8421-8425, 2009.

CARERI, Maria; CORRADINI, Claudio; ELVIRI, Lisa. et al. Direct HPLC Analysis of Quercetin and trans-Resveratrol in Red Wine, Grape, and Winemaking Byproducts. **Journal of Agricultural and Food Chemistry**, 51, 5226-5231, 2003.

CASAS, Marta Alvarez; PÁJARO, Marta; LORES, Marta; JARES, Carmen Garcia. Characterization of grape marcs from native and foreign white varieties grown in northwestern Spain by their polyphenolic composition and antioxidant activity. **European Food Research and Technology**. DOI 10.1007/s00217-015-2573-0, 2015.

CENTENO, María Reyes González; KNOERZER, Kai; SABAREZ, Henry. et al. Effect of acoustic frequency and power density on the aqueous ultrasonic-assisted extraction of grape pomace (*Vitis vinifera* L.) – A response surface approach. **Ultrasonics Sonochemistry**, 21, 2176-2184, 2014.

CIEŚLA, Ł.; MOADDEL, R. Comparison of analytical techniques for the identification of bioactive compounds from natural products. **Natural Product Reports**, 2016.

CHEMAT, F.; ROMBAUT, N.; SICAIRE, A. -G. et al. Ultrasound assisted extraction of food and natural products. Mechanisms, techniques, combinations, protocols and applications. A review. **Ultrasonics Sonochemistry**, v. 34, 540-560, 2017.

CLUBE DOS VINHOS. **Fermentar para nascer o vinho.** Disponível em: <<https://www.clubedosvinhos.com.br/fermentar-para-nascer-o-vinho/>> Acesso em: 15 nov. 2016.

CORRALES, M.; TOEPF, S.; BUTZ, P.; KNORR, D.; TAUSCHER, B. Extraction of anthocyanins from grape by-products assisted by ultrasonics, high hydrostatic pressure or pulsed electric fields: A comparison. Innovative. **Food Science and Emerging Technologies**, 9, 85-91, 2007.

CRUZ, Ana Paula Gil; FREITAS, Suely Pereira; TORRES, Alexandre Guedes; GOMES, Flávia dos Santos; CABRAL, Lourdes M. C. **Extração de compostos bioativos do bagaço da uva (Vitis vinifera L.).** Ciências de Alimentos, UFRJ, 2010.

ĆUJIĆ, N.; ŠAVIKIN, K.; JANKOVIĆ, T. et al. Optimization of polyphenols extraction from dried chokeberry using maceration as traditional technique. **Food Chemistry**, v. 194, 135-42, 2016.

DAVID, B.; WOLFENDER, J. -L.; DIAS, D. A. The pharmaceutical industry and natural products: historical status and new trends. **Phytochemistry Reviews**, v. 14, 2, 299-315, 2014.

DELGADO DE LA TORRE, M. P.; FERREIRO-VERA, C.; PRIEGO-CAPOTE, F.; LUQUE DE CASTRO, M. D. Anthocyanidins, Proanthocyanidins, and Anthocyanins Profiling in Wine Lees by Solid-Phase Extraction–Liquid Chromatography Coupled to Electrospray Ionization Tandem Mass Spectrometry with Data-Dependent Methods. **Journal of Agricultural and Food Chemistry**, 61, 12539-12548, 2013.

DÍAZ, Ana Belén; ALVARADO, Octavio; ORY, Ignacio de; CARO, Ildefonso; LANDINO, Ana. Valorization of grape pomace and orange peels: Improved production of hydrolytic enzymes for the clarification of orange juice. **Food and Bioproducts Processing**, 91, 580-586, 2013.

DOMINGUEZ, Jorge; CORDEIRO, Hugo Martínez; CASAS, Marta Álvarez; LORES, Marta. Vermicomposting grape marc yields high quality organic biofertiliser and bioactive polyphenols. **Waste Management & Research**, v. 32(12) 1235-1240, 2016.

FALCONE FERREYRA, M. L.; RIUS, S. P.; CASATI, P. Flavonoids: biosynthesis, biological functions, and biotechnological applications. **Frontiers in Plant Science**, v. 3, 1-15, 2012.

FERNANDEZ, Alicia Gomes. **O processo de vinificação e o conteúdo de antioxidantes.** Universidade Brasília, 2008.

FERRARI, Valdecir. **A sustentabilidade da vitivinicultura através de seus próprios resíduos.** Campos Universitário da Região do Vale dos Vinhedos, Bento Gonçalves, 2010.

FREITAS, Andréia Andrade de; DETONI, Alessandra Maria; CLEMENTE, Edmar; OLIVEIRA, Cláudio Celestino de. Determinação de resveratrol e características químicas em sucos de uvas produzidas em sistemas orgânico e convencional. **Revista Ceres**, Viçosa, v. 57, 1, 001-005, 2010.

FRIEDMAN, Mendel. Antibacterial, Antiviral, and Antifungal Properties of Wines and Winery Byproducts in Relation to Their Flavonoid Content. **Journal of Agricultural and Food Chemistry**, 62, 6025-6042, 2014.

FONTANA, Ariel R.; ANTONIOLLI, Andrea; ANTONIOLLI, Rubén Bottini. Grape Pomace as a Sustainable Source of Bioactive Compounds: Extraction, Characterization, and Biotechnological Applications of Phenolics. **Journal of Agricultural and Food Chemistry**, 61 (38), 8987-9003, 2013.

GARCIA-SALAS, P.; MORALES-SOTO, A.; SEGURA-CARRETERO, A.; FERNÁNDEZ-GUTIÉRREZ, A. Phenolic-compound-extraction systems for fruit and vegetable samples. **Molecules**, v. 15, 12, 8813-8826, 2010.

GRAEBIN, Natália Guilherme. **Recuperação de compostos bioativos de bagaço de uva por cultivos fúngicos em estado sólido comparado ao método de extração sólido-líquido**. Universidade Federal do Rio Grande do Sul, 2014.

HAJJ, Youssef El; LOUKA, Nicolas; NGUYEN, Catherine; MAROUN, Richard G. Low Cost Process for Phenolic Compounds Extraction from Cabernet Sauvignon Grapes (*Vitis vinifera* L. cv. Cabernet Sauvignon). Optimization by Response Surface Methodology. **Food and Nutrition Sciences**, 3, 89-103, 2012.

IBGE – Instituto Brasileiro de Geografia e Estatística. **Projeções iniciais e variáveis transformadas para o Popclock 2013**. Brasil. Acesso em: 26 fev. 2017.

IBRAVIN – Instituto Brasileiro do Vinho. **Estatísticas**. Disponível em: <<http://www.ibravin.org.br/admin/arquivos/estatisticas/1473079559.pdf>> Acesso em: 15 nov. 2016.

IBRAVIN – Instituto Brasileiro do Vinho. **História do vinho do Brasil**. Disponível em: <<http://www.ibravin.org.br/Historia-do-Vinho-no-Brasil>> Acesso em: 15 nov. 2016.

KABIR, Faisal; SULTANA, Mosammad Shahin; KURNIANTA, Heri. Polyphenolic Contents and Antioxidant Activities of Underutilized Grape (*Vitis vinifera* L.) Pomace Extracts. **Preventive Nutrition and Food Science**, 20(3), 210-214, 2015.

KAMMERER, Dietmar R.; KAMMERER, Judith; VALET, Regine; CARLE, Reinhold. Recovery of polyphenols from the by-products of plant food processing and application as valuable food ingredients. **Food Research International**, 65, 2-12, 2014.

KHACHA-ANANDA, S.; TRAGOOLPUA, K.; CHANTAWANNAKUL, P.; TRAGOOLPUA, Y. Antioxidant and anti-cancer cell proliferation activity of propolis extracts from two extraction methods. **Asian Pacific Journal of Cancer Prevention**, v. 14, 11, 6991-6995, 2013.

KHAN, M. K.; ABERT-VIAN, M.; FABIANO-TIXIER, A. S.; DANGLES, O.; CHEMAT, F. Ultrasound-assisted extraction of polyphenols (flavanone glycosides) from orange (*Citrus sinensis* L.) peel. **Food Chemistry**, v. 119, 2, 851-858, 2010.

KUREK-GÓRECKA, A.; RZEPECKA-STOJKO, A.; GÓRECKI, M. et al. Structure and antioxidant activity of polyphenols derived from propolis. **Molecules**, v. 19, 1, 78-101, 2014.

LOMILLO, Javier García; SANJOSÉ, María Luisa González; GARCÍA, Raquel Del Pino. et al. Antioxidant and Antimicrobial Properties of Wine Byproducts and Their Potential Uses in the Food Industry. **Journal of Agricultural and Food Chemistry**, 62, 12595-12602, 2014.

LOPEZ, María del Mar Castro; VILARIÑO, José Manuel López; RODRÍGUEZ, María Victoria González. Analytical determination of flavonoids aimed to analysis of natural samples and active packaging applications. **Food Chemistry**, 150, 119-127, 2014.

LUZ, Luiza Placidina da. **Estudo do Ultra-som como técnica de extração de carvões e caracterização dos hidrocarbonetos poliaromáticos**. Universidade Federal do Rio Grande do Sul, 1998.

MARINO, Matilde Garcia; GONZALO, Julian C. Rivas; IBÁNEZ, Elena; CONCEPCION, Garcia-Moreno. Recovery of catechins and proanthocyanidins from wineryby-products using subcritical water extraction. **Analytica Chimica Acta**, 563, 44-50, 2005.

MELLO, Loiva Maria Ribeiro. **Desempenho da vitivinicultura brasileira em 2015**. Embrapa Uva e Vinho, Bento Gonçalves, 2016. Disponível em: <<https://www.embrapa.br/busca-de-noticias/-/noticia/9952204/artigo-desempenho-da-vitivinicultura-brasileira-em-2015>> Acesso em: 15 nov. 2016.

MELO, Priscilla Siqueira; MASSARIOLI, Adna Prado; DENNY, Carina; SANTOS, Luciana Ferracini dos; FRANCHINB, Marcelo; PEREIRA, Giuliano Elias; VIEIRA, Thais Maria Ferreira de Souza; ROSALEN, Pedro Luiz; ALENCAR, Severino Matias de. Winery by-products: Extraction optimization, phenolic composition and cytotoxic evaluation to act as a new source of scavenging of reactive oxygen species. **Food Chemistry**, 18, 160-169, 2015.

MELO, Priscilla Siqueira; BERGAMASCHI, Keityane Boone; TIVERON, Ana Paula; MASSARIOLI, Adna Prado; OLDONI, Tatiane Luiza Cadorin; ZANUS, Mauro Celso; PEREIRA, Giuliano Elias; ALENCAR, Severino Matias de. Phenolic composition and antioxidant e activity of agroindustrial residues. **Ciência Rural**, v. 41, 1088-1093, 2011.

MELO, P.; MASSARIOLI, A.; DENNY, C.; SANTOS, F. L.; FRANCHINB, M.; PEREIRA, G. E.; VIEIRA, T.; ROSALEN, P. L.; ALENCAR, S. M. Winery by-products: Extraction optimization, phenol composition and cytotoxic evaluation to act as a new source of scavenging of reactive oxygen species. **Food Chemistry**, 181, 160-169, 2015.

MENDOZA, Leonora; YAÑEZ, Karen; VIVANCO, Marcela; MELO, Ricardo; COTORAS, Milena. Characterization of extracts from winery by-products with antifungal activity against *Botrytis cinerea*. **Industrial Crops and Products**, 43, 360-364, 2012.

OLIVEIRA, Daniela A.; SALVADOR, Ana Augusta; SMÂNIA JR, Artur; SMÂNIA, Elza F.A.; MARASCHIN, Marcelo; FERREIRA, Sandra R. S. Antimicrobial activity and composition profile of grape (*Vitis vinifera*) pomace extracts obtained by supercritical fluids. **Journal of Biotechnology**, 164, 423-432, 2012.

O'SHEA, Norah; ARENDT, Elke K.; GALLAGHER, Eimear. Dietary fibre and phytochemical characteristics of fruit and vegetable by-products and their recent applications as novel ingredients in food products. **Innovative Food Science and Emerging Technologies**, 16 (2012) 1-10, 2012.

OZVURAL, Emin Burçin; VURAL, Halil. Which is the best grape seed additive for frankfurters: extract, oil or flour? **Society of Chemical Industry**, 94, 792-797, 2014.

PARAMÁS, Ana M. González; RUANO, Sara Esteban; BUELGA, Celestino Santos; TERESA, Sonia De Pascual; GONZALO, Julian C. Rivas. Flavanol Contentand Antioxidant Activity in Winery Byproducts. **Journal of Agricultural and Food Chemistry**, 52, 234-238, 2004.

PING, Lan; BROSSE, Nicolas; CHRUSCIEL, Laurent; NAVARRETE, Paola; PIZZI, Antonio. Extraction of condensed tannins from grape pomace for use as wood adhesives. **Industrial Crops and Products**, 33, 253-257, 2011.

QUEIROZ, Emerson F.; WOLFENCIER, Jean-Luc; HOSTETTMANM, Kurt; VIEIRA, Paulo C. Princípios Ativos de Plantas Superiores. 2. ed. Série de textos da Escola de Verão em Química. **ISBN**, 978-85-7600-343-4, São Carlos, 2014.

RAJHA, Hiba N.; DARRA, Nada El; VOROBIEV, Eugène; LOUKA, Nicolas; MAROUN, Richard G. An Environment Friendly, Low-Cost Extraction Processof Phenolic Compounds from Grape Byproducts Optimization by Multi-Response Surface Methodology. **Food and Nutrition Sciences**, 4, 650-659, 2013.

REAL, Mauro Corte. **Os bons vinhos do Sul**. 5. ed. Porto Alegre: Sulina, 1981.

REDDY, G. V. Bhaskar; SEN, A. R.; NAIR, Pramod N.; REDDY, K. Sudhakar; REDDY, K. Kondal; KONDAIAH, N. Effects of grape seed extract on the oxidative and microbial stability of restructured mutton slices. **Meat Science**, 95, 288-294, 2013.

ROCKENBACH, Ismael Ivan; SILVA, Graciela Lessa da; RODRIGUES, Eliseu; GONZAGA, VALDEMIRO; Luciano; FETT, Roseane. Antioxidant activity of grape bagasse extracts from Regente and Pinot Noir varieties (*Vitis vinifera*). **Revista Instituto Adolfo Lutz**, 66(2), 158-163, Universidade Federal de Santa Catarina, 2007.

RONDEAU, Pierangelo; GAMBIERA, Francois; JOLIBERT, Franck; BROSSE, Nicolas. Compositions and chemical variability of grape pomaces from French vineyard. **Industrial Cropsand Products**, 43, 251- 254, 2012.

RUFATTO, Luciane Corbellini. **Caracterização de metabólitos secundários em guaco** (*Mikania laevigata* Schultz Bip.ex Baker): produção, regulação e atividade antitumoral, Universidade Caxias do Sul, 2012.

SALAS, Patricia Garcia; MORALES-SOTO, Aranzazu; SEGURA-CARRETERO, Antonio; FERNÁNDEZ-GUTIÉRREZ, Alberto. Phenolic- Compound- Extraction Systems for Fruit and Vegetable Samples. **Molecules**, 2010, 15, 8813-8826, Spain, 2010.

SALES, N. F. F.; CRUZ, A. P. G.; CABRAL, L. M. C.; TORRES, A. G. **Capacidade antioxidante de extratos hidro alcoólicos do bagaço de uva tinta.** Laboratório de Bioquímica Nutricional e de Alimentos. Instituto de Química, Universidade Federal do Rio de Janeiro, 2012.

SELANI, Miriam Mabel. **Extrato de bagaço de uva como antioxidante natural em carne de frango processada e armazenada sob congelamento.** Universidade São Paulo, 2010.

SHIRSATH, S. R.; SONAWANE, S. H.; GOGATE, P. R. Intensification of extraction of natural products using ultrasonic irradiations. A review of current status. **Chemical Engineering and Processing: Process Intensification**, v. 53, p. 10-23, 2012.

SOUZA, Vinicius Bruno. **Creme ou gel a base de sementes e bagaço de uva.** Patente de Invenção, PI 1001372-5 A2, 2011.

SOUZA, Volnei Brito de. **Aproveitamento dos subprodutos de vinificação da uva Bordô (*Vitis Labrusca*) para obtenção de pigmentos com propriedades funcionais.** Universidade São Paulo, 2013.

SUN, Vivienne Z.; PARAMAN, Ilankovan; RIZVI, Syed S. H. Supercritical Fluid Extrusion of Protein Puff Made with Fruit Pomace and liquid Whey. **Food Bioprocess Technol**, 8, 1707-1715, 2015.

TIWARI, B. K. Ultrasound: A clean, green extraction technology. Elsevier B.V. **TrAC-Trends in Analytical Chemistry**, v. 71, 100-109, 2015.

TORRES, Josep Luis; VARELA, Begona; GARCIA, Mariä Teresa; CARILLA, Josep; MATITO, Cecilia; CENTELLES, Josepj; CASCANTE, Marta; SORT, Xavier; LBOBET, Andrau. Valorization of Grape (*Vitis vinifera*) Byproducts. Antioxidant and Biological Properties of Polyphenolic Fractions Differing in Procyanidin Composition and Flavonol Content. **Journal of Agricultural and Food Chemistry**, 50, 7548-7555, 2002.

TRUSHEVA, B.; TRUNKOVA, D.; BANKOVA, V. Different extraction methods of biologically active components from propolis: a preliminary study. **Chemistry Central journal**, v. 1, 1, 13, 2007.

VILKHU, K.; MAWSON, R.; SIMONS, L.; BATES, D. Applications and opportunities for ultrasound assisted extraction in the food industry - A review. **Innovative Food Science and Emerging Technologies**, v. 9, 2, 161-169, 2008.

WINES OF BRASIL. **Vinho brasileiro.** Disponível em: <<http://www.winesofbrasil.com/pt/brasilian-wine/a-new-experience>>. Acesso em: 15 nov. 2016.

YEO, K. L.; LEO, C. P.; CHAN, D. J. C. Ultrasonic Enhancement on Propolis Extraction at Varied pH and Alcohol Content. **Journal of Food Process Engineering**, v. 38, 6, 562-570, 2015.

YILMAZ, Yusuf; GÖKSEL, Zekiye; ERDOGAN, S. Seçil; Öztürk, AYSUN; ATAK, Arif; ÖZER, Cengiz. Antioxidant Activity and Phenolic Content of Seed, Skin and Pulp Parts of 22 Grape (*Vitis vinífera* L.) Cultivars (4 Common and 18 Registered or Candidate for Registration). **Journal of Food Processing and Preservation**. ISSN 1745-4549, 2014.

YILMAZ, Yusuf; TOLEDO, Romeot. Major Flavonoids in Grape Seeds and Skins: Antioxidant Capacity of Catechin, Epicatechin, and Gallic Acid. **J. Agric. Food Chemistry**, 52, 255-260, 2004.

ZANUS, Mauro Celso. **Panorama da vitivinicultura brasileira**. XV Congresso Latino-Americanano de Viticultura e Enologia, Embrapa uva e Vinho, Bento Gonçalves-RS, 2015.

ZHANG, H. F.; YANG, X. H.; WANG, Y. Microwave assisted extraction of secondary metabolites from plants: Current status and future directions. **Trends in Food Science and Technology**, v. 22, 12, 672-688, 2011.

ZHU, Fengmei; DU, Bin; ZHENG, Lihong; LI, Jun. Advance on the bioactivity and potential applications of dietary fibre from grape pomace. **Food Chemistry**, 186 (2015) 207-212, 2014.